

# VYSOKÉ UÈENÍ TECHNICKÉ V BRNÌ

BRNO UNIVERSITY OF TECHNOLOGY

FAKULTA ELEKTROTECHNIKY A KOMUNIKAÈNÍCH TECHNOLOGIÍ  
ÚSTAV VÝKONOVÉ ELEKTROTECHNIKY A ELEKTRONIKY

FACULTY OF ELECTRICAL ENGINEERING AND COMMUNICATION  
DEPARTMENT OF POWER ELECTRICAL AND ELECTRONIC ENGINEERING

NÁVRH ZDROJE 1000A AC PRO KALIBRACI SENZORÙ PROUDU

BAKALÁØSKÁ PRÁCE  
BACHELOR'S THESIS

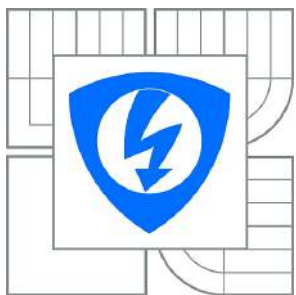
AUTOR PRÁCE  
AUTHOR

JAN KLIMEŠ



VYSOKÉ UÈENÍ TECHNICKÉ V BRNÌ

BRNO UNIVERSITY OF TECHNOLOGY



FAKULTA ELEKTROTECHNIKY A KOMUNIKACIÈNÍCH  
TECHNOLOGIÍ

ÚSTAV VÝKONOVÉ ELEKTROTECHNIKY A  
ELEKTRONIKY

FACULTY OF ELECTRICAL ENGINEERING AND COMMUNICATION  
DEPARTMENT OF POWER ELECTRICAL AND ELECTRONIC  
ENGINEERING

# NÁVRH ZDROJE 1000A AC PRO KALIBRACI SENZORÙ PROUDU

DRAFT SOURCES 1000A AC CURRENT SENSORS FOR CALIBRATION

BAKALÁØSKÁ PRÁCE

BACHELOR'S THESIS

AUTOR PRÁCE

AUTHOR

JAN KLIMEŠ

VEDOUCÍ PRÁCE

SUPERVISOR

Ing. PETR DOHNAL, Ph.D.

BRNO 2015



VYSOKÉ UČENÍ  
TECHNICKÉ V BRNĚ

Fakulta elektrotechniky  
a komunikačních technologií

Ústav výkonové elektrotechniky a elektroniky

# Bakalářská práce

bakalářský studijní obor  
**Silnoproudá elektrotechnika a elektroenergetika**

**Student:** Jan Klimeš

**ID:** 155174

**Ročník:** 3

**Akademický rok:** 2014/2015

## NÁZEV TÉMATU:

**Návrh zdroje 1000A AC pro kalibraci senzoru proudu**

## POKYNY PRO VYPRACOVÁNÍ:

- 1) Seznamte se s návrhem a funkcí transformátoru na velké proudy a jejich pøesným mìøením pøi vysoké pøesnosti
- 2) Navrhnìte a ve spolupráci s vedoucím práce sestrojte funkèní vzor demonstrátoru pro pøesné mìøení støídavého proudu 1000A
- 3) Vypoèítejte pøesnost demonstrátoru
- 4) Proveðte kalibraci demonstrátoru

## DOPORUÈENÁ LITERATURA:

- [1] Havelka, Otto a kol.: Elektrické pøístroje uèebnice pro elektrotechnické fakulty vysokých škol technických, SNTL 1985
- [2] Miøièka J., Zoubek Z.: Elektrické stroje, skriptum ÈVUT 1990
- [3] Patoèka, Miroslav: Magnetické jevy a obvody ve výkonové elektronice, mìøicí technice a silnoproudé elektrotechnice, VUTIUM 2011

**Termín zadání:** 22.9.2014

**Termín odevzdání:** 2.6.2015

**Vedoucí práce:** Ing. Petr Dohnal, Ph.D.

**Konzultanti bakalářské práce:**

**doc. Ing. Petr Toman, Ph.D.**

*Pøedseda oborové rady*

## UPOZORNÌNÍ:

Autor bakalářské práce nesmí pøi vytváøení bakalářské práce porušit autorská práva tøetích osob, zejména nesmí zasahovat nedovoleným zpùsobem do cizích autorských práv osobnostních a musí si být plnì vidom následkù porušení ustanovení § 11 a následujících autorského zákona è. 121/2000 Sb., vèetnì možných trestníprávních dùsledkù vyplývajících z ustanovení èásti druhé, hlavy VI. díl 4 Trestního zákoníku è.40/2009 Sb.



## ABSTRAKT

Tato pr ce se zab v  konstrukc,, soustavy st o, dav...ho zdroje 1000 A a za%,zen,, pro p esn... m en,, velk ch proud . Jsou zde teoreticky rozebr ny mo nost,, klasick ch %oe en,, jako jsou proudov... transform tory i modern j , metody p dob  proudov ch senzor . Je zde %oe ena problematika p esnosti a mo n... zp soby jak sn,,it systematickou chybu. Do hloubky je zde rozebran  stavba proudov...ho transform toru, zpracov n,, analogov...ho sign lu na sign l digit ln,, a n sledn... f,,slicov... zpracov n,skan...ho sign lu. Zkonstruovan... za%,zen,, je n sledn  otestov no na svoji fin ln,, p esnost.

## ABSTRACT

This bachelor thesis deals with design and construction of device for precise measurement of 1000 A alternate current. This thesis theoretically discusses the possibilities of conventional solutions, such as current transformers, as well as modern methods in the form of current sensors. The output of this thesis is a solution of problems with accuracy and discussion of other possible ways to reduce systematic error. The thesis discusses structure of the current transformer, the digitalizing of the signal and its usage as an input for engineering units. The device is then tested for final accuracy.



## KLĘ•OV, SLOVA

Mřen,, proudu, t%da p%esnosti, p%,strojov^ transformator proudu, proudov^ zdroj, kalibrace, arduino, mikrokontrol...r

## KEYWORDS

Current measurement, accuracy class, instrument current transformer, current source, calibration, arduino, microcontroller



## BIBLIOGRAFICK, CITAC E

KLIME•J . N‡vrh zdroje 1000A AC pro kalibraci senzorŠ proudu. Brno: Vysok... ufen,, technick... vBrn†, Fakulta elektrotechniky a komunikacn,,ch technologi,,. Èstav v•konov... elektrotechniky a elektroniky, 2015. 49 s. a 23 s. p‰o,loh. Bakal‡%osk‡ pr‡ce. Vedouc,, pr‡ce: Ing. Petr Dohnal Ph.D.



## PROHL,fEN€

Prohla euji,  e svou bakal %oskoupr ci na t...ma  N vrh proudov...ho zdroje 1000A pro kalibraci senzor  proudu, jsem vypracoval samostatn  pod veden,,m vedouc,,hosemestr ln,,pr ce a s pou it,,m odborn... literatury a dal ,ch informafn,,ch zdroj , kter... jsou v echny citov ny v pr ci a uvedeny v seznamu literatury na konci pr ce.

Jako autor uveden.. semestr ln,, pr ce d le prohla euji,  e v souvislosti s vytvo%oen,,m t...to semestr ln,, pr ce jsem neporu il autorsk  pr va t%oet,,ch osob, zejm...na jsem nezas hl nedovolen m zp sobem do ciz,,ch autorsk ch pr v osobnostn,,ch a/nebo majetkov ch a jsem si pln  v dom n sledk  poru een,,l  a n sleduj,,c,,ch z kona f121/2000 Sb., o pr vu autorsk...mo pr vech souvisej,,c,,ch s pr vem autorsk m ao zm n  n kter ch z kon  (autorsk  z kon), ve zn n,, pozd j ,ch p%oedpis , v fetn  mo n ch trestn pr vn,,ch d sledk  vypl vaj,,c,,ch z ustanoven,, f sti druh..., hlavy VI. d lTrestn,,ho z kon,,ku f. 40/2009 Sb.

V Brn  dne ..... ....

(podpis autora)

## POD,KOV,N 

D kuji vedouc,,mu semestr ln,,pr ce Ing. Petru Dohnalovi Ph.D. za jeho fas, cenn... rady a ochotu p%oi veden,, m... pr ce, za kterou jsem velice vd fn .

V Brn  dne ..... ....

(podpis autora)



## OBSAH

<b>Seznam obr...zk†</b>	<b>10</b>
<b>Seznam tabulek</b>	<b>11</b>
<b>�vod</b>	<b>12</b>
<b>1 Metody m‰en� proudu</b>	<b>13</b>
1.1 M‰en,, proudu pomoc,, magnetometru.....	13
1.2 M‰en,, proudu pomoc,, Hallovy sondy.....	13
1.3 M‰en,, proudu pomoc,, Rogowsk..ch�ky.....	15
1.4 M‰en,, proudu pomoc,, proudov...ho transform�toru.....	16
1.5 Vyhodnocen,, metod m‰en,, proudu.....	17
<b>2 P‰strojov� transform...tory proudu</b>	<b>18</b>
2.1 Ef�l a d�len,, p‰o,,strojov�ch transform�tor� proudu.....	18
2.2 M‰o,,c,, transform�tor proudu.....	18
2.3 Jist,,c,, transform�tor proudu.....	18
2.4 Princip a konstrukce p‰o,,strojov�ch transform�tor� proudu .....	19
2.5 Nejistota m‰en,, m‰o,,c,,ch transform�tor� proudu.....	19
2.6 Elektronick� korekce p‰esnosti.....	21
2.7 Proudov� transform�tor se zp�tnovazebn,, korekc,, chyby.....	23
<b>3 Vlastn� n...vrh %oe�en�</b>	<b>24</b>
3.1 Volba proudov...ho transform�toru.....	24
3.2 Volba zdroje.....	25
3.3 Volba bofn,,ku.....	25
3.4 Volba RMS to DC p‰evodn,,ku.....	26
3.5 Volba A/D p‰evodn,,ku a referenfn,,ho zdroje.....	26
3.6 Volba operafn,,ho zesilova�e.....	28
3.7 Volba nap�ej,,c,,ho zdroje.....	28
<b>4 Zapojen� komponent</b>	<b>30</b>
4.1 Zapojen,, RMS toDC p‰evodn,,ku.....	30
4.2 Zapojen,, nap�ov... reference REF5020.....	31
4.3 Zapojen,, A/D p‰evodn,,ku AD7715.....	32



<b>5 N...vrh a konstrukce</b>	<b>33</b>
5.1 Prvn,, varianta' elektrick... sch...ma.....	33
5.2 Prvn,, varianta- deska ploC...ho spoje.....	34
5.3 Druh‡ varianta - elektrick... sch...ma.....	34
5.4 Druh‡ varianta - deska ploCEn...ho spoje.....	35
5.5 N‡vrh komunikace.....	35
5.6 K“d komunikace z mikrokontrol...ru.....	37
5.7 Zpracov‡n,, dat z mikrokontrd...ru.....	38
<b>6 V•poŽet teoretick&lt; p%oesnosti/nejistoty soustavy</b>	<b>40</b>
<b>7 Ov^‰enŠ p%oesnosti/nejistoty soustavy</b>	<b>41</b>
7.1 Tabulky v^sledkŠ .....	41
7.2 P‰o,,kladv^poftu:.....	43
7.3 Grafick... zobrazen,, nam†‰en^ch v^sledkŠ.....	44
7.4 Adjustace v^poftŠ proudu demonstr‡torem.....	44
<b>8 Z...v^r</b>	<b>46</b>
<b>Pou•it... literatura</b>	<b>47</b>
<b>Seznam symbol†, veliŽin a zkratek</b>	<b>49</b>
<b>Seznam souŽ...stek</b>	<b>50</b>
<b>Seznam p‰oŠloh</b>	<b>51</b>



## SEZNAM OBR,ZK•

Obrázek 1: Princip Hallový sondy (p%oevzato z [3]).....	14
Obrázek 2: Kompenzovaný Hallová sonda od firmy LEM (p%oevzato z [15]).....	15
Obrázek 3: Rogowskeho c,,vka z modelov... %oady A100 od firmy ChauvArnoux (p%oevzato ze zdroje [12]) .....	16
Obrázek 4: Sch...ma m†%,c,,ho transformatoru (p%oevzato z [2]).....	19
Obrázek 5: N‡hradn,, sch...ma transformatoru zobrazuj,,c,, magnetizafn,, proud (p%oevzato z [6])	
Obrázek 6: Magnetizafn,, charakteristiky pro feromagnetick... materi‡ly a pro vzduch.....	20
Obrázek 7: Z‡vislost bud,,c,,ho proudu (magnetick...ho toku) na p%oiloen...m nap†t,, (p%oekresleno z [8]) .....	21
Obrázek 8: Proudov^ transformator s elektronickou korekc,, p%oesnosti (p%oevzato z [5]).....	22
Obrázek 9: Sch...ma PTP se zp‡novazebn,, kompenzac,,.....	23
Obrázek 10: Sch...ma zapojen,, transformatoru spolu s metodou z,,sk‡n,, nap†‘ov...ho sign‡lu	24
Obrázek 11: Sch...ma zpracov‡n,, analogov...ho sign‡lu sign‡l digit‡ln,,.....	24
Obrázek 12: Sch...ma uzemn†n,, odporu.....	26
Obrázek 13: Nap‡jen,, m†%,c,, soustavy.....	29
Obrázek 14: Zapojen,, RMS to DC p%oevodn,,ku (p%oevzato z [14]).....	30
Obrázek 15: Graf pro urfen,, velikosti kondenz‡toru C <sub>v</sub> na z‡klad† frekvence a p%,,pustn... chyby (p%oevzato z [14]).....	31
Obrázek 16: Zapojen,, nap†‘ov... reference REF5020 (p%oevzato z [15].).....	31
Obrázek 17: Zapojen,, analogdigit‡l p%evodn,,ku AD7715 (p%oevzato z [17].).....	32
Obrázek 18: N‡vrh desky plo¶en...ho spoje pro variantu bez operafn,,ho zesilovafe.....	34
Obrázek 19: N‡vrh desky plo¶en...ho spoje pro variantu operafn,,m zesilovaferem.....	35
Obrázek 20: Uk‡zka komunikace AD p%oevodn,,ku AD7715 (p%oevzato z [17].).....	36



## SEZNAM TABULEK

Tabulka 1: Porovn‡n,, metod m†%oen,, proudu.....	17
Tabulka 2: Rozpis souf‡stek a jejich nap‡jen,,.....	28
Tabulka 3: Tabulka p%oesnost,, d,,lf,,ch prvkŠ.....	40
Tabulka 4: Legenda nam†%oen^ch a vypoften^ch hodnot.....	41
Tabulka 5: Konstanty pro v^pojet .....	41
Tabulka 6: Nam†%oen... a vypoften... hodnoty.....	42
Tabulka 7: Name%oen... a vypoften... hodnoty.2.....	43
Tabulka 8: Tabulka m†%o,,c,,ch p%o,,strojŠ.....	44



## ‡VOD

Tato pr‡ce se zab^v‡ p‰oesn^m m†‰oen,,m velk^ch proud‡ to a‘ u<sup>c</sup> klasick^mi metodami jako je p‰o,,strojov^ transform‡tor proudu, tak i modern‡jŒ,mi metodami jako je Hallova sonda, Rogowsk...ho c,,vka, fi kompenzovan^ proudov^ transform‡tor.Tyto p‰o,,stroje jsou energetice velmi dŠle<sup>c</sup>it..., p‰edstavuj,, technieekonomick... optimum, protoe nen,, pot‰oeba stav†t drah... m†‰o,,c,, p‰o,,stroje velk^ch v‰ale naopak je mo<sup>c</sup>n... ve velk...m vyr‡b†t p‰o,,stroje normalizovan...‰oady. N‡sledn† je pak mo<sup>c</sup>n... vysok... proudov... a nap†‘ov... hladiny sn,,it na tyto normalizovan... hodnoty. D‡le tyto p‰o,,stroje zajiŒ‘uj,, galvanick... odd‡len,, obvodŠ m†‰oen^ch a m†‰o,,c,,ch, f,,mchr‡n,,nejen m†‰o,,c,, p‰o,,stroje, ale tak... jejich obsluhu.

Konkr...tn,,m c,,lem t...to pr‡ce je sestavit soustavu st‰o,,dav...ho proudov...ho zdroje 1000 A a m†‰o,,c,,ho p‰o,,pravku a n‡sledn... ov†‰oen,, p‰oesnosti dan... soustavy. Tato soustava pak mŠe slou<sup>c</sup>it p‰oi laboratorn,, v^uce ektrick^ch p‰o,,strojŠ fi jako za‰o,,zen,, pro kalibraci proudov^ch transform‡torŠ a senzorŠ.



# 1 METODY M,‘EN€ PROUDU

Jeliko< hlavn,, n‡pln,, t...to pr‡ce je navr en,, za%,,zdej... by bylo schopn... m‡%elk... proudy s velkou citlivost,, bylo ud‡l‡no mal... shrnut,, v‡tEiny dostupn ch metod.

## 1.1 M‰en  proudu pomoc  magnetometru

Tato metoda vych‡z,, z faktu, <e proch‡zej,,c,, elektrick  proud vytv‡%,, vokol,, vodife magnetick... pole, jak je pops‡no pomoc,, Ap...rova z‡kona pro stacion‡rn,, magnetick... pole

$$\oint_C \vec{B} \cdot d\vec{l} = \mu_0 \cdot I_{celk} \quad (1.1)$$

kde  $\vec{B}$  je vektor magnetick... indukce,  $\mu_0$  je permeabilita vakua a  $I_{celk}$  reprezentuje celkovou proud proch‡zej,,c,, uzav‰enou plochou. M‡%en,, proud by bylo mo n... pomoc,, magnetometru, ten se dnes pou<,v‡ v mobiln,,ch telefonech pro funkci kompasu. Bylo zva ov‡no pou it,, konkr...tn,,ho senzoru HMC5883L od firmy Honeywell s ji  integrovan m dvan‡cti bitov m A/D p‰evodn,,kem, d,,ky kter...mu je mo n... po napojen,, na I2C (nap%,,klad na v vojov... desce Arduino) p‰o,mo zjistit dmotu magnetick... indukce, ze ter... by bylo mo n... pomoc,, empirick... stupnice urfit hodnotu proudu proch‡zej,,c,,ho vodifem. Tato metoda v eak nar‡k,, na mnoh... probl...my jako je p‰edev , m m‡%,,c, enozah Jeliko< je prim rn  navr en na m‡%en,, magnetick...ho pole zem , je jeho rozsah Gauss do + 8 Gauss, co< by pro na e "fely nestafilo. Bylo by stejn  nutn... pou it, sni ujc,,ho transform toru nebo um,,st nsenzoru do vel... vzd lenosti, co< nen,, praktick... ani p‰esn.... D le je zde probl. p mn livost,, magnetick...ho pole, tyto senzory jsou obecn  schopny pracovat s frekvenc,, 0,1 Hz, co< je pro s,,ov^ch 50 Hz hrub  nedostafuj,,c,,.

[1]

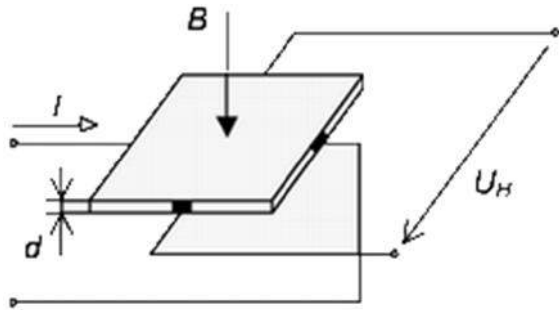
## 1.2 M‰en  proudu pomoc  Hallov  sondy

Hallov  sonda vyu ,v‡ takzvan... L nzovy s,,ly, kter  zp sobuje pohyb elektrick...ho n‡boje v magnetick...m poli, jak je zobrazeno n,,e na Obr zek 1. Pokud vn j , magnetick... pole p sob,, kolmo na destifku, tak je prot...kaj,,c,, proud vychylov njk dn... stran  destifky cozp sob,, jin... proudov... hustoty na obou konc,,ch Hallov  sondy. Jin... proudov... hustoty zp sob,, rozd,,ln  potenci l a t,,m se objev,, takzvan... Halovo nap t,, mezi ob ma konci destifky a to podle Obr.1



$$U_H = R_H \cdot \frac{I \cdot B}{d} \quad (1.2)$$

kde  $U_H$  reprezentuje Hallovo napřt,,  $R_H$  je Hallova konstanta s jednotkou  $m^3 \cdot A^{-1} \cdot s^{-1}$ ,  $I$  je proud prot...kaj,,c,, destifkou,  $B$  je magnetické indukce kolmá na směr proudu  $d$  jako tloušťka destifky



Obrázek 1: Princip Hallovy sondy (p%oevzatø [3])

Tato metoda je problematická z hlediska velikosti z,,skan...ho signálu a jeho linearity. Jelikož je Hallovo napřt,, velmi mal... (%odová se jedná o jednotky mV) mSle být mimo,, zatím, která se na výstupn,, signál ze sondy superponuje, což se dříve muselo kompenzovat zkroucením vodičů. Přesnost dosavadních průmyslových řešení,, se pohybuje okolo 0,4% kdy tato hodnota je konkr...tná prd 195-3566-ND od firmy Digi-Key.

[5][9]

Avšak pomoc,, Hallovy sondy lze mít pomocí takzvanou kompenzafn,, metody která je blízká popsána v kapitole 2.7, kde je magnetizafn,, proud kompenzován pomocí zpravidla zapojených fází, se velmi zvýšuje, rovněž přesnosti. Konkr. 0,0054% pro stroj IT 1000-S/SP1 ULTRASTAB od firmy LEM, která je zobrazena na Obrázek 2: Kompenzovaná Hallova sonda od firmy LEM (p%oevzata z [15]). Toto řešení bylo pro nás velmi vhodné, avšak tato varianta je finančně velmi náročná.

[10]



Obrázek 2: Kompenzovaná Hallova sonda od firmy LEM (p%oevzato z [15])

### 1.3 M%enŠ proudu pomocš Rogowsk<ho cŠvky

Rogowsk...ho c,,vka pracuje na podobn...m principu, jako transformator bez feromagnetick...ho obvodu kde prim rn,, vinut,, je pracovn,, m %en eden,, a sekund rn,, vinut,, je samotn  Rogowsk...ho c,,vka, kter  je zapojena nap zdro, tud,, neprot...k  dn  proud. I kdy t o e en,, na se na prvn,, pohled nemus,, p%,li  li it od m %,c,,ho transformatoru proudu, tak z sadn,, v hoda je pr v  v absenci magnetick...ho obvodu, d,ky femu< nen,, zat,na dynamick mi vlastnostmi a nep%esnost,, kterou zp sobuje magnetizafn,, proud

Dal , v hdou Rogowsk...ho c,,vky je, e jej,, v stup poskytuje p%,mo hodnotu nap kter  po integraci reprezentuje aktu ln,, fasov  pr b h prim rn,,ho proudu. I kdy e Rogowsk...ho c,,vka jev,, jako ide ln,, mo nost tak je z rove  zat,na nep%esnost,, zp sobenou integrac mu v stupn,,ho nap t,, c,,vky a tud, nevyhovuje zad m po adavk m na p%esnost. Typick  p%esnost se m e pohybovat na hranici -1%, kdy tato hodnota konkr...tn  plat,, pro Rogowskeho c,,vky z modelov... %ady A100 od firmy Alvin-Arnoux (p%oevzato z [6]) Vizu ln,,uk zka Rogowsk...ho c,,vky z %ady A100 je n br zek 3: Rogowskeho c,,vka z modelov... %ady A100 od firmy Alvin-Arnoux (p%oevzato ze zdroje[2])

[4] [5]



Obrázek 3: Rogowskeho c,,vka zmodelov... %oady A100 od firmy Gouin-Arnoux (p%oevzato ze zdroje [12])

## 1.4 M%enŠ proudu pomocŠ proudov<ho transform...toru

P%o,,strojov^ transform^tor proudu umo<uje m†%en,, velk^ch proudŠ nap%energetice a do dne%en,, doby je tento zpŠsob nejv,,ce vyu<,v‡n. Proudov... transform^tory jsou vyr‡b†ny ve v,,ce proveden,,ch a jako klasick^ proudov^ transform^tor, proudov^ tran sform^tor s elektronickou korekc,, chyby a proudov^ transform^tor se zp‡tnovazebn,, korekc,,. Jeliko< jsme pro na%e aplikaci p%oesn...ho m†%en,, pro 1000 A zvolili pr‡v† mo%nost proudov...ho transform^toru klasick... konstrukce a to z dŠvodŠ v kapitole 1.5 budou vlastnosti, konstrukce a principy vysv‡tleny v kapitole 2.



## 1.5 VyhodnocenŠ metod m^%enŠ proudu

Vybír fin‡ln,, m†‰o,,c,, metody byl zaloœen p‰evedevE,,Tabulka 1: Porovn‡n,, metod m†‰en,, proudu.

Tabulka 1: Porovn‡n,, metod m†‰en,, proudu

Typ m ení	Rozsah pr myslového ešení	P esnost pr myslového ešení	Cena pr myslového ešení pro 1000A	Výsledek
<b>Magnetometr</b>	0-1000AAC (nen,, prŠm. %oeEen	n,zk‡, nevyhovuj,,c,, (>10%)	n,zk‡ (cca 100 CZK)	neuspokojiv^
<b>Halova sonda</b>	0-1000AAC	n,zk‡, nevyhovuj,,c,, (1-5%)	n,zk‡ (cca 100ky CZK)	neuspokojiv^
<b>Kompenzovan...</b>	0-1000A	v^born‡	vysok‡ (cca 30.000 CZK)	Dobr^
<b>Halova sonda (typ)</b>	Vyhovuj,,c,,	(0,005%)	CZK	
<b>Rogovsk<math>\times</math>ho cŠvka</b>	0-2000A Vyhovuj,,c,,	dobr‡ (0,5%)	dobr‡ (cca 5000CZK)	Dobr^
<b>PTP</b>	0-6000A Vyhovuj,,c,,	v^born‡ 0,1%	velmi dobr‡ cca 4000CZK	velmi dobr^

Z tabulky Tabulka 1: Porovn‡n,, metod m†‰en,, proudu, je nej‰esn‡jE,, m†‰o,,c,, metodou je kompenzovan‡ Halova sonda viz. Kapitola 1.2 avEak takov...to za‰o,,hén‡, velmi drah... a jedn‡ se o technologicky n‡rofn... %oeEti‡hto dŠvodŠ jsme se rozd,l nad‡le v‡novat p‰evedev‡n‡ metod‡m vyuœ,vaj,,c,, proudov... transform‡tory.



## 2 P•ESTROJOV' TRANSFOR M,TORY PROUDU

V n‡sleduj,,c,,m textu budou p‰edstaveny principy a v^znam p‰o,,strojov^ch transform‡torŠ proudu.

### 2.1 ‡Zel a d^lenŠ p‰oŠstrojov•ch transform...tor† proutu

P‰o,,strojov... transform‡tory vyu<,v‡me p‰eveden, m‡den,, nebo k‡Et†n,, odbho jsou tak... odvozeny z‡kladn,, kategorie zaprv... m‡‰a, transform‡tory proutu a zadruh..jist,,c,, transform‡tory proutu. V r‡mci napln†n,, t...to pr‡ce je podstatn†jCE, m‡‰o,,c,, transform‡tor proutu, tak  mu bude v†nov‡no v,,ce prostoru.

[2]

### 2.2 M‰oŠcŠ transform...pnoudu

Slou<, k zv^Ceen,, rozsahu m‡‰o,,c,,ch p‰o,,strojŠ. Jeliko< by bylo obt,,n... a neekonomic... vyr‡b†t amp...rmetr pou<iteln^ nap‰o,,mq‰oenosov... soustav†, kde se proutu mohou pohybovat %o‡du tis,,cŠ amp...r, nab,,z,, se mo<nost vyu<,t transform‡toru a dostat tak h‡moty v %o‡du jednotek amp...r, kter... u< jsou m‡‰oiteln... i b‡n† dostup^mi p‰o,,stroji.

[2]

### 2.3 JistŠcŠ transform...tor proutu

Jist,,c,, transform‡tory slou<, pro nap‡jen,, ochran na veden,,. U t‡cto transform‡torŠ jde tak... o to p‰oev...systok... proutov... hladiny na h‡my ni<E,, ale jsou zde na rozd,,l od m‡‰o,,c,,ch transform‡torŠ v†tCE,, n‡roky na rychlos p‰oenosu a z‡rove• na p‰oesnost p‰oi poruchov^ch stavech, jako jsou zkraty a nadproutu.

[2]

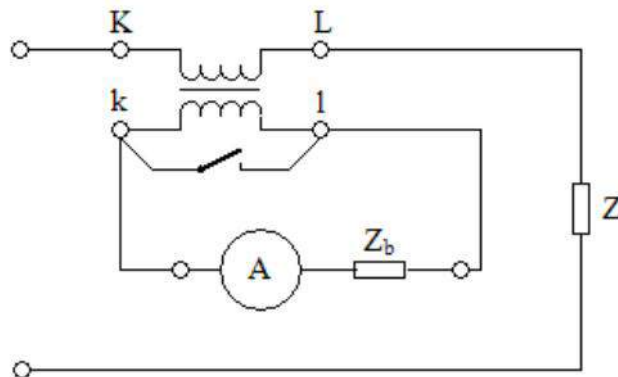


## 2.4 Princip a konstrukce p‰strojov•ch transform...tor† proudu

Obecn^ princip transformatoru vych‡z,, zFaradayova z‡kona elektromagnetick... indukce, kde magnetick^ tok je dŠsledkem prot...kaj,,c,,ho proudu prim‡rn,,m vinut,,. Tento magnetick^ tok n‡sledn† prot...k‡ sekund‡rn,,m vinut,kde indukuje nap†t,, kter... je p‰mo rovno nap†t,, na prim‡rn,,m vinut,, kr‡t pom†r z‡vitŠ prim‡rn,,ho kpoftu z‡vitŠ sekund‡rn,,ho vinut,,. Zat,,mco p‰evod proudu prob,,h‡pom†rem p‰oesn† opafn^m.

Na sch...matu n,,e Obr. 4e vid†t,  $\leftarrow$  e m†‰o,,c,,ho transformator proudu je tvo‰en jin‡rn,,m vinut,,m, kter^m v†tCinou b^v‡ jedin^ z‡vit, ten je s...riov† zapojen^ do m†‰en...ho obvodu, d‡le je zde sekund‡rn,, vinut,, kter... poftem z‡vitŠ odpov,,d‡ p‰evodu, respektive proudu, kter^ chceme a dok‡e m†‰oit. U sekund‡rn,,ho vinut,, je t‰eba si vŒimnout velmi dŠleit...ho prvku a tou je zkratovaf (p‰m... propojen,, svorek Žka Žl•), bez tohoto prvku nelze transformator provozovat, proto e v p‰o,,pad†,  $\leftarrow$  e by se jak...hokoliv dŠvodu p‰eEil m†‰o,,c,, obvod amp...rmeteo by bylo pot‰eba v‡mci servisn,, prohl,,dky amp...rmetr odpojit a sekund‡rn,,vinut,, by ten bylo uzav‰eno a mezi svorkami Žk• a Žl• by se indukovalo nebezpefn... nap†t,,. ¶‰o,,pad†,  $\leftarrow$  e je namontovan^ zkratovaf, tak se p‰ed odpojen,,m amp...rmetru zkratuj,, svorŽka a Žl• a sekund‡rn,,vinut,, bude zapojen... nakr‡tko. D‡le u $\leftarrow$  jen zb^v‡ amp...rmetr sekund‡rn,,m obvodu, kter‡ n‡m m†‰o,, ji $\leftarrow$  transformovanou hodnotu proudu.

[2]



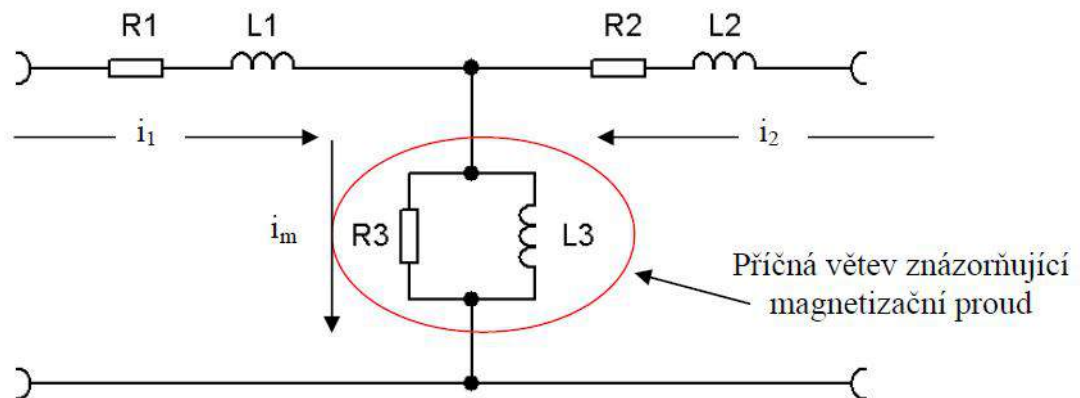
Obr‡zek 4: Sch...ma m†‰o,,c,,ho transformatoru proudu (p‰evzato z [2])

## 2.5 Nejistota m‰en  n‰ch transform...tor† proudu

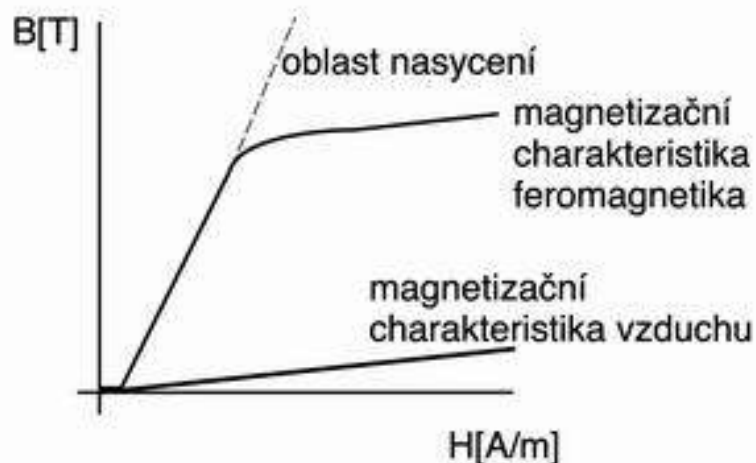
Nejistota m†‰en,, je u m†‰o,,c,,ho transformatoru proudu velmi dŠleit^ parametr a ten je d‡n p‰oedevCE,,m velikost,, magnetizafn,,ho proudu a rozptylov^mi toky magnetick...ho obvodu, co je dob‰e zobrazeno na n‡hradn, sch...matu transformatoru viz uveden^ Obr‡zek 6, kde je vid†t,  $\leftarrow$  na rozd,,l od Rogowsk,ho c,,vky pracuj,,c,, bez j‡dra respektive vprost‰ed,, vzdachu, je tato charakteristika pro proudov^ transformator v^razn† strm†jCE,, a tud,, i ztr‡ty zp‰soben... magnetizafn,,m prudem.

Velikost magnetizafn,,ho proudu  $I$  zvis,, na impedanci sekundfrn,,ho vinut,, a ztice a proto se vdy sna<,,me volit amp...rmetr a jeho p%o, vody nejmenE,, impedanc,, aby sekundfrn,, nap,t,  $U_2$  bylo co nejmenE,,  $f_{,m}$  se sn,,<, pot%oebn^ magnetick^ tok na minimum a t,,m i pot%oeba dan...ho magnetizafn,,ho proudu, padn^ lze transform^tor pro danou velikost sekundfrn,, ztice a p%oekalibrovat, tj. stanovit pracovn,, bod, p%oi kter...m je... a konstatn,, Dle je pro sn,,en,, ztr^t pot%oeba zajistitaby jdro transform^toru bylo z co nejkvalitn^jE,,ch feromagneticckch materiilS,  $f_{,m}$  se op^t sn,,<, magnetick... ztr^tya zlepE,, se celkov^ p%oesnost m%o,,c,,ho transform^toru.

[2]

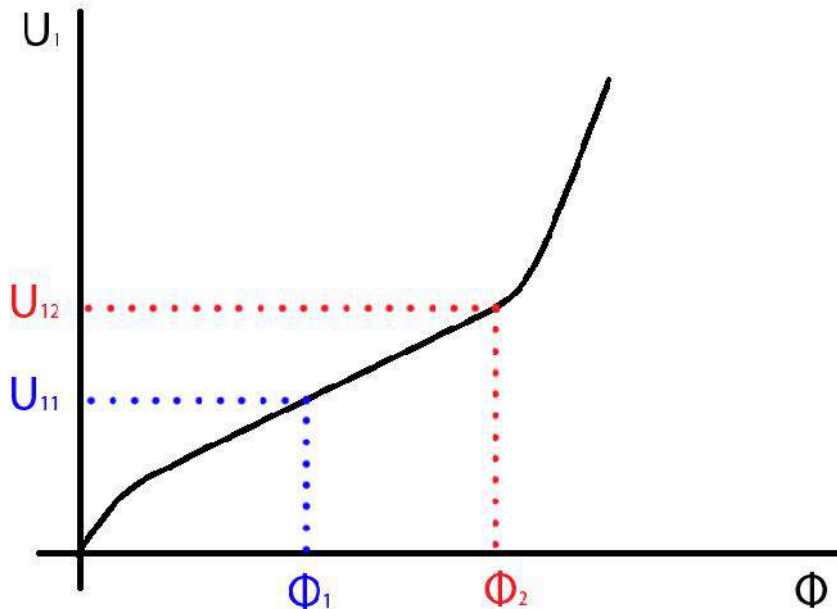


Obrzek 5: Nhradn,, sch...ma transform^toru zobrazuj,,c,, magnetizafn,, proud (p%oevzato z [5])



Obrzek 6: Magnetizafn,, charakteristiky pro feromagneticck... materiily a pro vzduch

Chybu, kter^ je do proudov...ho transform^toru zanesena d,,ky magnetizafn,,mu proudu je mo<n... sn,,<it a to nap%, klad pomoc,, elektronick... korekce p%oesnosti nebo d,,ky zp^tnovazebn,,mu zapojen,, kter... kompenzuje magnetizafn,, proud. Dle jno<n... zv^Cet p%oesnost m%o,,c,,ho transform^toru sn,,en,,m v^konu na kter...m je transform^tor provozov^n, f,,m dojde ke sn,,en,, p%oilo<n...ho nap^t, a t,,m i magnetick...ho nap^t, a t,,m i magnetizafn,,ho proudu. To je dob%oe vid^t na charakteristice zobrazen... na Obz.



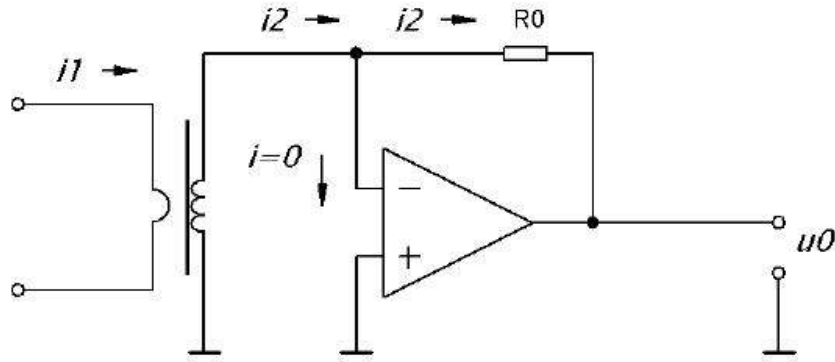
Obrázek 7: Závislost bud,,c,,ho proudu (magnetick...ho toku) na p%oiloen...m nap%ekresleno z [8])

kde — $\rightarrow$  a  $U_{12}$  reprezentuje jmenovit^ stav transform^toru a — $\rightarrow$  spolu s  $U_{11}$  zobrazuj,, v jak...m pracovn,,m bod† bude p%oblibl^n† pracovat transform^tor v naE,, aplikaci, tud,,c je patr..., e takto jsme schopni pracovat s lepE, p%oesnost,, ne $\times$  je v^robce uv^d^t^n^ch 0,1%

[8] po konzultaci s vedouc,,m pr^ce

## 2.6 Elektronick... korekce p%oesnosti

Tato varianta m^ na sekund^rn,, stran† PTP p%oipojen^ opera^f^resilovaf. T,,m je  $U_2$  a  $I_m$  sn,,eno na minimum a proto p%oesnost je vyCEC, ne $\times$  u klasick...ho typu. Zkratjento p%,pad† virtu^ln,, a proud naindukovan^ v sekund^rn,,m vynut,, je kompenzovan^ z v^stupu opera^fn,,ho zesilovafe, jak je zobrazeno na Obrázek 8: Proudov^ transform^tor s elektronickou korekc,, p%oesnosti (p%oevzat[5])



Obrázek 8: Proudový transformátor s elektronickou korekcí, p%esnosti (p%evzat[5])

Toto zapojení je vhodné, protože umožňuje přesnost na napětí, podle vztahu 2.1 a to, že není potřeba použít bofny nebo jiného elementu, který by do systému zanechal další systematickou chybu. Je dle toho možné zvolit správný převod transformátoru aby proud sekundový, vinutý, nebyl výšší, jak maximální, proud v stupni operafn.,ho zesilovače, jinak by hrozilo proudové přetížení, operafn.,ho zesilovače. Operafn.,ho zesilovače je možné použít dvěma antiparalelními diodami mezi invertujícím a neinvertujícím vstupem.

$$u_0(t) = -R_0 \cdot i_2(t) \quad (2.1)$$

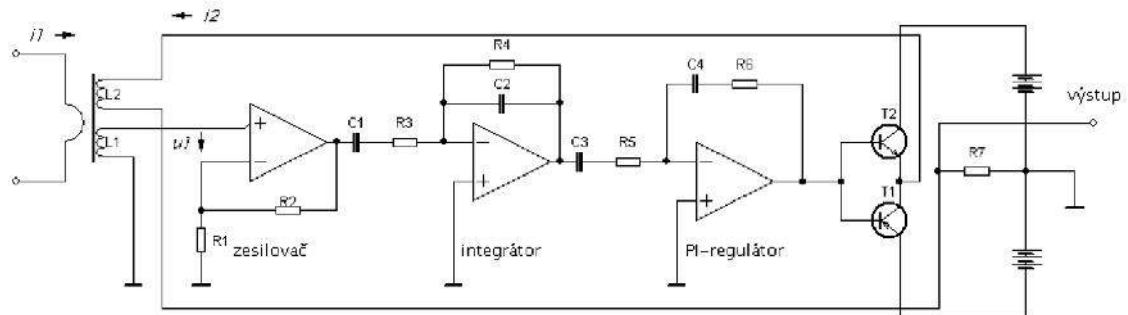
$u_0$  je napětí, v stupni operafn.,ho zesilovače,  $R_0$  je odpor mezi invertujícím vstupem a v stupni operafn.,ho zesilovače a  $i_2$  je proud indukovaný na sekundovém, straně mimo,ho transformátoru.

Toto řešení je jednoduché, které bylo vhodné pro náš aplikaci, jelikož poskytuje plnohodnotní umístění proudu na napětí, také eliminuje magnetizační proud, díky vlastnosti operafn.,ho zesilovače udržovat nulové napětí mezi invertujícím a neinvertujícím vstupem. Jeho hlavní výhoda je možnost spolehlivého využití, složitosti monostabilního dílu dostatečně vysokého operafn.,ho zesilovače, jelikož na kompenzaci proudu bude potřeba okolo 1,41A, což představuje amplitudu proudu na sekundovém vinutí, na kterého transformátoru.

[5]

## 2.7 Proudov• transform...tor se zp^tnovazebnŠ korekcŠ chyby

Princip zp^tnovazebn,,korekce spoj,,v‡ vp‰oiveden,, kompenzafn,,ho proudu, kter^ vyruŒ,, „finky magnetizafn,,ho proudu a zajist,, tak nulov^ magnetick^ tok v j‡d‰oe transform‡toru. Magnetizafn,, proud je m†‰en^ pomocn^nsn,,mac,,mvinut,,m a nesm,, j,,m prot...kat <‡dn^ proud, z tohoto dŠvodu je pot‰ebe jej zapojit na operafn,, zesilovař (pou<,v‡ se zapojen,, na neinvertuj,,c,, vstup), kdy vysok^ vstupn,, odpor operafn,,ho zesilovaře zajist,t...m†‰ nulov^ prot...kaj,rouž pomocn^m sn,,mac,,m obvodem. V^stupem tohoto operafn,,ho zesilovaře je potom nap†t,, kter... je p‰o,,mo ”m†rn... proudu a kter... je vstupem PI regul‡toru, kter^ pomzp^tnovazebn,,ho proudu kompenzuje magnetick^ tok v j‡d‰oe transform‡toru na nulu. Pro lepŒ,, nast,n†n,, principu je zde p‰iloenoch...ma tphoto %oeŒen,, Obr‡zek 9.

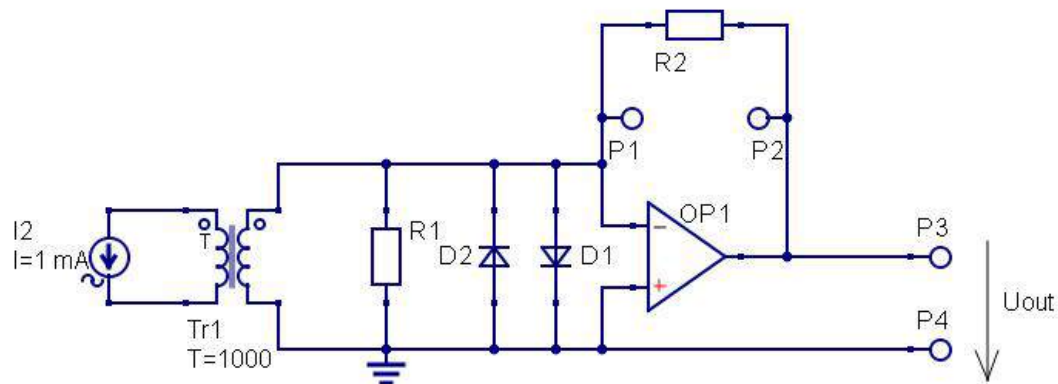


Obr‡zek 9: Sch...ma PTP se zp^tnovazebn,, kompenzac,,

Toto %oeŒen,, je pro n‡mi %oeŒen^ ”kol velmi vhodn..., ale jeho velk^ nedostatek tkv,, ve finanfn,, n‡rofnosti a obt,,ností proveden,, vnaŒich podm,nk‡ch.

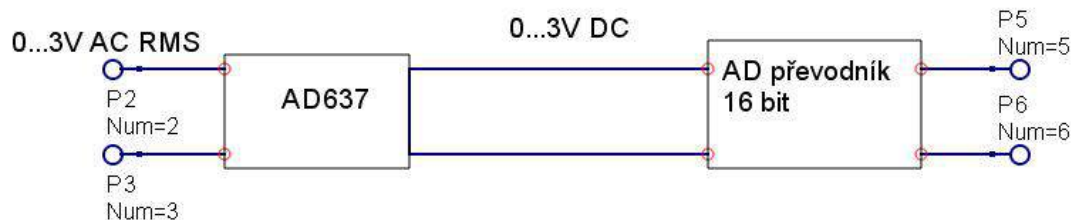
### 3 VLASTN€ N,VRH ‘EfEN€

Z‡kladn,,m prvkem naŒE, soustavy se stane‰konn^ st‰o,,dav^zdroj, kter^ bude dopln†n za‰o,,zen,,m, kter... bude schopnyysokou p‰oesnost,, m†‰oit v^stupn,, proud zdroje. Jeliko„ jsme cht†li porovnat jak vlastnosti proudov...ho transform‡toru klasick... konstrukce, tak i konstrukce s elektronickou kompenzac,, naŒe %oeŒen,, bude obsahovat metoda ob†mzpŠsoby, kdy mezi jednotliv^mi zpŠsoby bude mono p‰ep,,napomoc,, zkratovac,, propojky vizsch...ma Obr‡zek 10.



Obr‡zek 10: Sch...ma zapojen,,transform‡toru spolu s metodou z,,sk‡n,, nap†‘ov..ho sign‡lu

D‡le bude pot‰eba z,,skan^ nap†‘ov^ sign‡l zpracovat do f,,slicov† fiteln... podoby bude prob,,hat pomoc,, p‰evodn,,k‡fektivn,, st‰o,,dav... hodnoty na stejnosm†rn... nap†t,,mto ”felem byl vybr‡n p‰evodn,,AD637 od firmy Analog Devices a takto z,,skan... stejnosm†rn... nap†t,, bude d‡le zpracov‡no 16 bitov^m analog-digital p‰evodn,,kem, viz sch...ma Obr‡zek 11.



Obr‡zek 11: Sch...ma zpracov‡n,, analogov...ho sign‡lu na sign‡l digit‡ln,,

#### 3.1 Volba proudov...ho transform...toru

Pro naŒe ”fely byl vybr‡proudov^ transform‡tor od firmy MT Brno s.r.o. se zd‡nliv^m v^konem 15 VA, pod oznafen,,m 1289 A to z dŠvodu dostupnosti a n,zk... ”rovni nejistoty m†‰oen,, kter‡ je v^robce uv‡d†na na 0,1 % a tak... z dŠvodu v^konov... rezrvy, kdy budeme schopni v^robcem uv‡d†nou nejistotu m†‰oen,, sn,,it, tak jak bylo pops‡no kapitole 2.5.

[12]



### 3.2 Volba zdroje

Jako zdroj st%o,,dav...ho proudu 1000 A, byl vybran autotransformator KPB Intra CTR2 protoe vyhovoval poadavkSm na vkon a zdrove• byl dostupn k zapjfen,, z p%,strojov... laborato%oe.

### 3.3 Volba božnšku

Dle bude pot%oeba p%oev prot sekundrn,,m vinut,,m transformatoru na zpracovateln signl. Za t,mto ”felem pouijeme rezistor ve funkci bofn,,ku.

P%oi jeho volb budeme vychzet zvkonu, na kter...m budemeprovozovat proudov transformator. Jeliko chceme zvCet p%oestnost...ho za%,zen,, budeme transformator provozovat na vkonu 1VA nam,,sto jmenovit ch 15 VA a to z dŠvodŠ, kter... jsou uvedeny kapitole 2.5. Vpofet odporu bofn,,kuviz rovnice 3.1.

$$R = \frac{S}{I^2} = \frac{1}{1^2} = 1\Omega \quad 3.1$$

kde R je v sledn odpor bofn,,ku, S reprezentuje vkon , na kter...m bude transformator provozovn a I je proud sekundrn,,m vinut,,m proudov...htransformatoru.

Rezistor, kter bude pouit jako bofn,,k, bude nadle muset splovat podm,nku mal... teplotn,, zvislosti a zdrove• mus, b t jeho chlazen,, natolik p%oedimenzovan..., abychom i skrze ztrtov vkon, kter bude na rezistoru generovan, jsme mohli povaovat jeho jmenovitou hodnotu jako konstantn,. Za t,mto ”felem je tedy dŠleit... vypof,„ztrtov vkon, viz rovnice 3.2

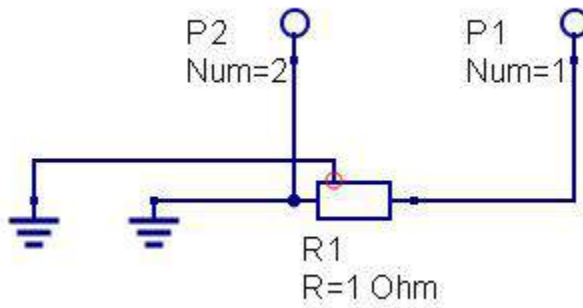
$$P_{ztr} = R \cdot I^2 = 1 \cdot 1^2 = 1W \quad 3.2$$

kde P<sub>ztr</sub> je ztrtov vkon generovan na rezistoru, R je odpor bofn,,ku a I je efektivn, hodnota sekundrn,,hoproudnu transformatoru.

Vybrali jsme drtov rezistor RX24 50W od firmy Sichuan Yongxing Electronics s hlin,kovm ebrovanm pouzdrem. Tento rezistor je ideln,, z hlediska teplotn,,ho soufinitel T<sub>k</sub>=100ppm/°C a dostupnosti. Ztrtov vkon 50W, jsme mohli pravd podobn volit i men, ale rozd,ly v cen ch ni ch vkonov ch %oad byly %od du des,tek korunu, bylo v t...to situaci v hodn...koupit rezistor takto p%oedimenzon i za vyCE, cenueljko t,m odpadla nutnost v poftu a n sledn... aplikace dalE,ho pasivn,ho chlazen,. Tato volba je samoz%ejm moen p%oi naE, kusov... vrob, vp%,pad s...riov... vroby by byla situace pravd podobn Mstn,, indukfost drtov...ho rezistoru je moen... zanedbat zaledem k tomu, e m%oen,, bude provdno vdy pro s,‘ovou frekvenci f=50Hz, tud, i hodnota impedance bude vdy stejn a d se kompenzovat.



Kostru rezistoru a vstupn,, vodif uzemn,,me zdŠvodu eliminace nap†‘ov...ho Šumu, kter^ by n‡m vnfŒedalŒsystematickou chybu m‡%en,je dŠleit... uzemnit zvl‡Œ svorku a zvl‡Œ kostru rezistoru, aby se Šum indukován na ko\$%oe nevn‡Œel do m‡%,c,,ho obvodu, jak je naznačeno na Obr‡zek 12: Sch...ma uzemn†n,, odporu



Obr‡zek 12: Sch...ma uzemn†n,, odporu

### 3.4 Volba RMS to DC p‰evodníku

Jak ji<sup>c</sup> bylo zm,,n†no v "vodu kapitoly 4, n‡mi z,,skan^ analogov^ sign‡l bude pot‰eba zpracovat na sign‡l f,,slicov^. Jeliko<sup>c</sup> je m‡%en,, stejnosm†rn...ho nap‡t,,eno menŒ, chybou ne<sup>c</sup> m‡%en,, nap‡t, st‰o,,dav...hp‡je‰eba vlo<sup>c</sup>it meziobvod, jeho<sup>c</sup> v^stupem bude stejnosm†rn... nap‡t,, kter... bude "m‡rn... efektivn,, hodnot† st‰o,,dav...ho nap‡t,. Za t,,mto "felem jsme vybrali integrovan^ obvod AD637 od firmy Analog Devices, kter^ spl‡uje v^Œe uveden... po<sup>c</sup>adavky jeho v^stup v rozsahu 0,1 a<sup>c</sup> 2V vyhovuje naŒim po<sup>c</sup>adavkŠm, kdy<sup>c</sup> ofek‡van‡ hodnota nap‡t,, na bofn,,ku bude 1V efektivn,, P‰esnost takov...ho p‰evodu je d‡na dv‡ma parametry a to nelinearitou dan...ho prvku, co<sup>c</sup> je konkr...tn† 0,02% a d‡le p‰o,,davn‡ chyba, kteř‡y‡s,, na zkreslen,, vstupn,,ho nap‡t,, v naŒem p‰o,,padap‡t,, s,,‘ov...ho. Hodnota t...to chyby je 0,1% pro crest factor roven 3, p‰oifem<sup>c</sup> crest factor je pod,,l amplitudov... hodnot‡ nap‡t, khodnot† efektivn,. Takto vysokou chybu si u naŒeho za‰en,, nemŠeme dat‡ proto bude pot‰eba pou<,t pro nap‡jen,, naŒeho m‡%,c,,ho za‰en,, nez‡višharmonick^ zdroj proudu. T,,mto opat‰oen,,m budeme moci tuto chybu zanedbat a celkov‡ chyba tohoto za‰en,, bude na hodnot† 0,02%.

[14]

### 3.5 Volba A/D p‰evodníku referenžního zdroje

Jako AD p‰evodník pou<sup>c</sup>jemes. riov^ integrovan^ obvod AD7715 od firmy Analog Devices, tento v^robek jsme vybrali s ohledem na dostupnost, parametry a jeho 16 bitov... rozliŒen,,



P%oestnost p%oevodu signálů zalogov...ho na digitáln., pomoc,, AD p%oevodn,,k je urfena dvíma parametry a to zaprv..rozličen,,mán...ho p%oevodn,ku, p%oifem $\times$  plat,, f,,m výstřel, tato hodnota je je AD p%oevodn,k p%esnýj, Pomoc,, hodnoty rozličné schopni zjistit na kolik diskr...tn,,ch hodnot je p%oevodn,k schopnýzít hodnotu napříov... referenceV načem p%o, p%o, použit 16 bitov^ p%oevodn,k, tud, výpojet poftu diskr...tn,,ch hodnoty následuj,,c,, viz rovnice 4.1.

$$p=2^x=2^{16}=65536 \quad (4.1)$$

kde p je poftu diskr...tn,,ch hodnota kter... je p%oevodnýklopný rozdélit hodnotu napříov... reference. Samoz%ojejmíto hodnota nen,, nikterak vypov,,daj,,c,, pokud nev,,me na jak...m intervalu je daný poftu vzorkŠ rozložen. Změovaný interval je urfen prývý pomoc,, referenčn,ho napřít,, kter... nás m vytváří, horn,, hranohoto intervalu. Výpojet nás mi pot%ebn... reference prob,,hý následovný, viz rovnice 4.2.

$$U_{ref} = U_{bočn,k} \cdot \sqrt{2} \cdot 1,2 = 1 \cdot \sqrt{2} \cdot 1,2 = 1,697V \quad (4.2)$$

Nejbližší, napříový reference, který by vyhovovala načem počadavkŠm je REF5020 od Texas Instruments s napříovou hladinou 2,048 V, jej,, chyba dosahuje 0,05%, hladina čemuž jepouze 3‰ Vpp/V a mýt...mýnedbatelnou tepelnou závislost, 3 ppm/°C. Cena t...to reference je poníkud vyšší, a to 81 KčPH, avčak pro načee "fely jsme nenačeli levnýj, variantu, který by poskytovala takovou p%oestnost jako tato reference.

[15] [17]

Velikost minimálního rozdělu dvou diskr...tn,,ch hodnot na AD p%oevodn,ku vypočteme podle rovnice 4.3.

$$U_{krok} = \frac{U_{ref}}{2^{16}} = \frac{2,048}{65536} = 3,125\text{mV} \quad (4.3)$$

Rozdíl napří, odpov,,daj,,c,, p%oestnosti 0,1%výpočetov nov rovnici 4.4

$$U_{AW} = I \cdot q \cdot 0,1\% = 1000A \cdot \frac{1V}{1000A} \cdot 0,001 = 1000\text{mV} \quad (4.4)$$

kdy U<sub>AW</sub> p%oedstavuje nás mi počadovanou "roveň" p%oestnosti ve voltech, I je proud z proudov...ho zdroje a q reprezentuje p%oevod nás mi zvolen... soustavy proudov...ho transformátoru a bočn,ku.

P%oi porovnání,, výsledkŠ je naprostoto zájem..., e tato p%oestnost p%oi dan... referenční dostačuj,,c,, pro nás mi počadovanou p%oestnost mýménás mi zvolený AD p%oevodn,k mus,,me ječet doplnit o externý, krystalický rezonátor a to o frekvenci 2,4576 MHz, p%oestní podle počadavkŠ z datasheetu. [17]



### 3.6 Volba operažnšho zasilovaže

Volba operažnho zasilovaže je zvisl pøedevším na jeho vstupném proudu, který je schopn dodávat. Ten je pro naše potřeby nejmenší, západn, protože operažn zasilovař musí poskytnout stejný proud, jako je indukován na sekundérním vinutí, proudového transformátoru. V pořadí je využití proudu, který bude potřeba zobrazit v rovnici 4.5, pojďme uvažovat projektovou rezervu 20%

$$I_{OZ} = I_{sek} \cdot \sqrt{2} \cdot 1,2 = 1,697 A \quad (4.5)$$

Z rovnice 4.5 vyplývá, že je potřeba zvolit operažn zasilovař s vstupním proudem 1,697 A a výkonem. Nejblíže, výkon mezi operažnmi zasilovaři je 2A. Díle je u operažnho zasilovaže dle výrobců rychlosť změny napětí, neboli frekvence potřebného, který nám zajistí, že operažn zasilovař bude schopen dostatečně rychle mít napětí, tak aby se mezi jeho vstupními svorkami udrželo nulové napětí, neposledně, když je tím dle výrobců cena a dostupnost.

Naše volbu se stal operažn zasilovař od Texas Instruments označený OPA544, jeho vstupní proud je 2A a frekvence potřebného je 8V/šířka hlediska volby napájecího napětí, operažnho zasilovaže, takže můžeme volit v intervalu >10V a >35V.

### 3.7 Volba napájecího zdroje

Následující tabulka 2: Rozpis součástek a jejich napájení,

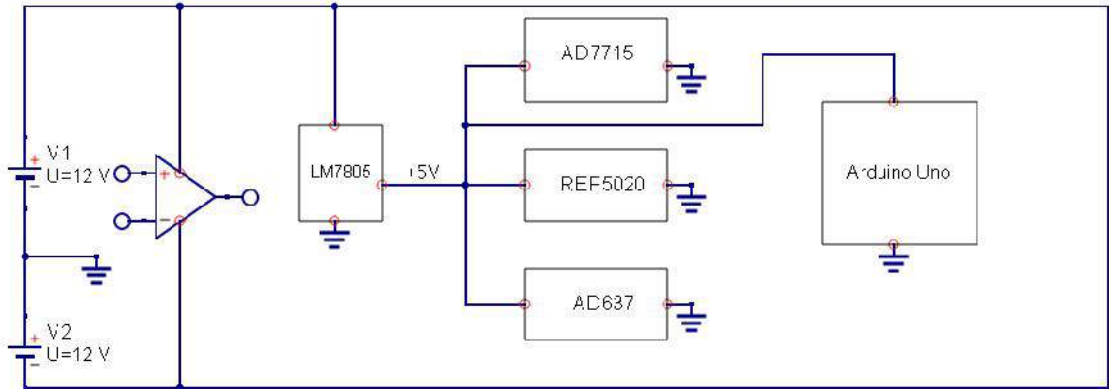
Následující tabulka 2: Rozpis součástek a jejich napájení,

Zařízení	Napájecí napětí [V]	Napájecí proud [A]
Operační zasilovač OPA544	±12	2
Reference REF5020	5	Zanedbatelný
RMS to DC konverter AD637	5	Zanedbatelný
A/D převodník AD7715	5	Zanedbatelný
Mikrokotrolér Arduino Mega	5	cca 225 mA

Zařízení	Napájecí napětí [V]	Napájecí proud [A]
Operační zasilovač OPA544	±12	2
Reference REF5020	5	Zanedbatelný
RMS to DC konverter AD637	5	Zanedbatelný
A/D převodník AD7715	5	Zanedbatelný
Mikrokotrolér Arduino Mega	5	cca 225 mA

Z tabulky 2 vyplývá, že bude zapotřebí dvou 12V zdrojů pro vytvoření +12V a zdroje 5V. Napájení, dle výrobců, závisí na druhu mikrokontroléra, který je vysoký a tudíž jeho proudy mohou být zanedbatelné. Výrobce určuje napájení, 5V výstupy, a proto je potřeba do schématu zakomponovat lineární regulátor napětí, pro konverzi z 12V na 5V. Za to, použijeme LM7805.

Celkov^ popis %oeCemap‡jen,, je patrn^ ze sch...matu naObr‡zek 13: Nap‡jen,, m‡‰o,,c,, soustavy



Obr‡zek 13: Nap‡jen,, m‡‰o,,soustavy

Zdroje zvol,,me RS-35-12 od firmy Meanwell, p‰oifem< tento 12V model m‡ v^stupn,, proud 3A, f,,m n‡m i p‰oi nap‡jen,, odb†ru 2A do operafn,,ho zesilovafo poskytne dostaefnou v^konovou rezervu pro nap‡jen,, ostatn,,ch m‡‰o,,c,,ch za‰o,,. Byla zde monost zakoupen,, zdroje S-25 s nap†t,m 12V a proudu 2,1A, kter^ by pravd†podobn† byl tak... dosta fuj,,c,, udš)vodu projektov... rezervy p‰oi volb† operafn,,ho zesilovafo 0,3Ae vzhledem k cenov...mu rzd,,lu pohybuj,,c,,mu se okolo 40 Kf na jednom kusu, je pro n‡Œ p‰o,,pad kusov... v^roby v^hodn†jŒ,, volit vyŒŒ, nap‡jec,, rezervy a tud,,zdroj -RS-12. V s...riov... v^rob† byar noz‰o ejm† byla volba spr‡vn...ho zdroje podstatn† z‡sadn†jŒ,, a se zn‡m^m poftem fin‡ln,,ch komponent by se volila ekonomicky p‰oijateln†jŒ,, variavolbu extern,,ho zdroje je t‰eba pamatovat na to, e na desce ploŒen...ho spoje bufoet‰eba vyv...st nap‡jec,, skyrU nap‡jen,, jed‡le t‰eba si pohl,,dat hodnoty ztr‡tov...ho v^kon na line‡rn,,m regul‡toru LM7805.

DalŒ,, variantou p‰oicen,, p‰oi n‡vrhu 5V nap‡jen,, je vyu<,t 5V regul‡toru p‰o,,mo z mikrokontrol...ruArduino. Tato varianta je v^hodn† v p‰o,,pad†, e nebudeme p‰oeboval 2V nap‡jen,, a tud,,c cel... za‰o,,zen,, budeme schopni nap‡jet pomoc,, jednoho zdroje nap‡jej,,c,, mikrokontrol...r.



## 4 ZAPOJEN€ KOMPONENT

Jednotliv... mikrofipy m..., mnoho mo...nost,, pro zapojen,,a v n...sleduj,,c,, kapitole jsou diskutovan..vlastnosti jednotlivch vstupS. D...le p%oedstav,,m...mi pou...it... zapojen,,.

### 4.1 ZapojenŠ RMS to DC p%oevodnŠku

Tato komponenta bude zapojena podle sch...matu na Obr.14. K samotn...mip%oevodn,,ku bude t%oeba p%oedit kondenz...tor urfuj,,c,, prŠm...rufaj,..., v...ou konstantu a dal...e, v...a kondenz...tory, kter... budou slou...it jako filtry v...stupn,ho sign...lu. Velikost prŠm...ruj,,c,, fasov... konstanty, tud,,c velikost kondenz...toru  $C_{AV}$  vyfiteme z grafu na Obr.15. Pro n...mi pou...vanou frekvenci 50 Hz a sm...rnici s chybou 0,01% a dosteneme p%oibl...n... hodnotu 5 ŠF. Velikost ostatn,,ch dvou filtrafn,,ch kondenz...toru je odvozena od velikosti  $C_{AV}$  a plat,, mezi nimi vztah 4,2, tud,,c n...m vyjde, e kondenz...tory  $C_2$  a  $C_3$  budou m,t kapacitu 10 ŠF. Pro na...e ”fely pou...ijeme keramick... kondenz...tory z d...vodu jejich n...z...k... pa...itn,, indukf...nosti.

$$C_2 = C_3 = 2 \cdot C_{AV} = 2 \cdot 5 = 10 \text{ } \mu\text{F} \quad (4.2)$$

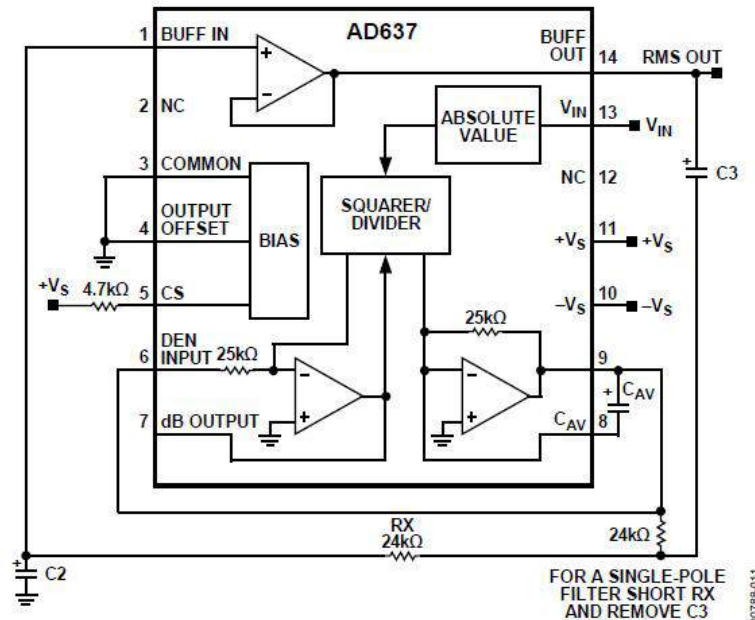
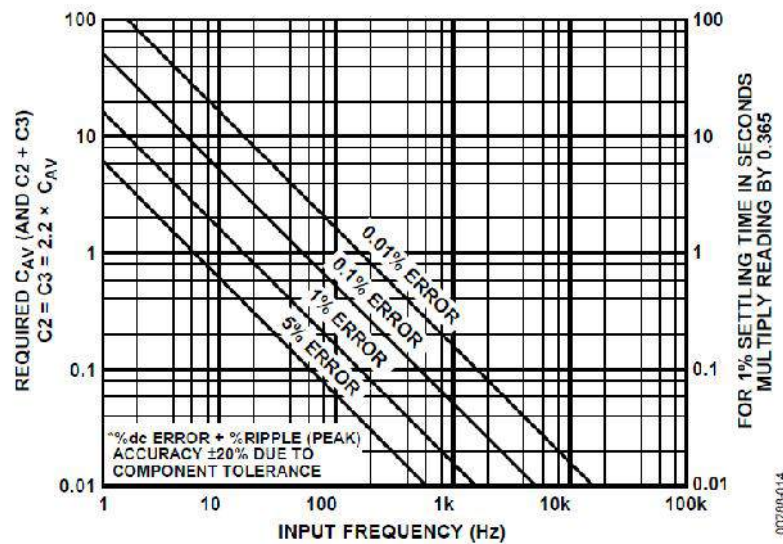


Figure 11. 2-Pole Sallen-Key Filter

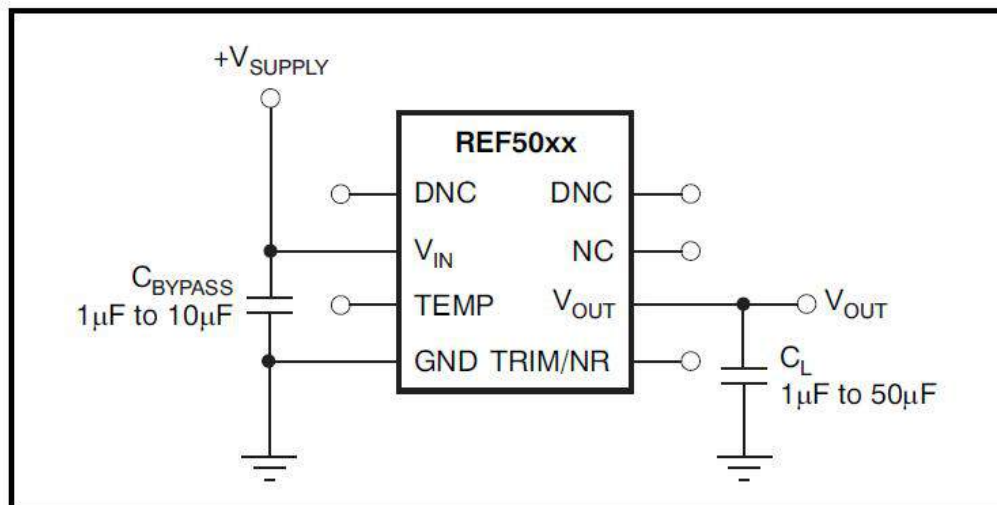
Obr...zek 14: Zapojen,, RMS toDC p%oevodn,,ku (p%oevzato z [14])



Obr‡zek 15: Graf pro urfen,, velikosti kondenz‡toru  $C_{AV}$  na z‡klad† frekvence a p‰o,,plus.. chyby (p‰oovzato z [14])

## 4.2 ZapojenŠ nap‡ov‡ reference REF5020

Zapojen,, nap‡ov‡ reference REF5020 bude prob,,hat podle datasheetu v‡robce viz Obr.16. Pin na vstupn,, nap‡t,, a zem bude odd‡lerkondenz‡torem 10 Š F pro co nejv‡tŒ,, stabilitu vstupn,,ho nap‡t,. Ze stejn...ho dŠvodu um,,ste hondenz‡tor i mezi pin referenfn,,ho nap‡t,, a zem, tentokr‡t o hodnot† 50 Š F.



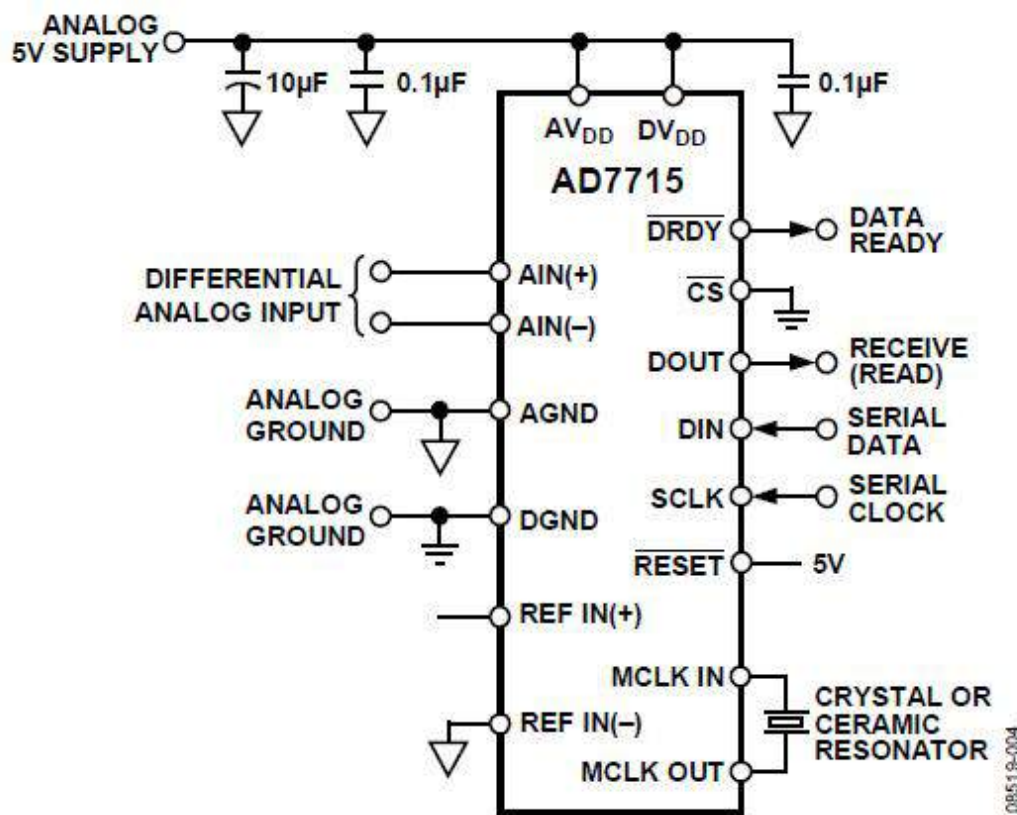
**Figure 29. Basic Connections**

Obr‡zek 16: Zapojen,, nap‡ov‡ reference REF5020 (p‰oovzatol‡J)

### 4.3 ZapojenŠ A/D p%oevodnŠkA D7715

Zapojen,, analog-digit l p%oevodn,,ku bude prob,,hat podle Obr.17.

Stabilita nap jec,,ho nap t,, je zde zaj et na t oemi kondenz tory 10  Fdvakr t 0,1  F. P oifem  kondenz tor 10  Fje elektrolytick  a kondenz tory 0,1  F jsou keramick...Mezi pin MCLK IN a MCLK OUT bude zapojen rezon tor 2,4675 MHz. D le je d leit... vytvo it dv  nez visl..zem , kter... js o od sebe odd leny a jsou spojeny pouze v jednom m,,st a to z d vodu zamezen,, ru en,, mezinalogov m a digit ln,,m obvodem. P oifem  pr v v  digit ln,, sign ly se vyznafuj,, velmi rychl mi n b t n mi hranami (v ide ln,,m p o,,pad  jednotkov  skok) a pr v v  tato rychl  fasov  zm na proudu za fas, m e zp sobit naindukov n,, ru en,, do analogov ch obvod .



Obr zek 17: Zapojen,, analog-digit l p%oevodn,,ku AD7715 (p oevz t [17])



## 5 N,VR H A KONSTRUKCE

Tato kapitola se zab^v‡ n‡vrhem ploŒen...hpoje v CAD softwaru EAGLE a n‡sledn. mu osazen,, ploŒen...ho spoje ouf‡stkami. V t...to pr‡ci jsou pops‡nydva mo¤n... n‡vrhy, kter... se od sebe liŒ,, ziskem nap†‘ov...ho sign‡lu.pVvn,,m p%ad† bude pro zisk nap†‘ov...ho sign‡lu vyu‡it pouze bofn,,k a druh‡ varianta obsahuje v^Œe popsanou kombinaci bofn,,ku a operafn,,ho zesilovafe. Varianta obsahuj,,c,, bofn,,k je z‡rove• ”sporn†jŒ,, jeliko¤ nebude pot‰eba n‡kup dvou nap†‘ov^ch zdrojŠ, operafn,,ho zesilovafe a tak... nebude pot‰eba pou¤it,, line‡rn,,ho regul‡toru nap†‘t, z12V na 5V, jeliko¤ vŒechny za‰o,zen,dou nap‡jen^ p‰o,,mo ŽV zdroje.

Pro sestaven,, fin‡ln,m†‰o,,c,, soustavy jsme zvolili variantu bez operafn,,ho zesilovafe, jeliko¤ se n‡m b‡hem oivov‡n,, nepoda‰ilo odmit samovoln... kmity operafn,,ho zesilovafe, kompenzuj,,c,,v^stup proudov...ho transform‡oru.

DŠlem faktorem p‰oi n‡vrhu ploŒen...ho spoje byl fakt, e se jedn‡ o vysokofrekvenfn,, obvod s kmitofty v %o‡du jednotek MHz, tud,,e je t‡a respektovat, aby cesty nebyly vedeny do prav...ho ”hlu, jinak by mohlo doj,,t kaindukov‡n,, ruŒiv...ho sing‡lu‡D je pot‰eba respektovat, aby jednotliv... souf‡stky byly kob‡ co nejbl,,e, aby se sn,,ili parazitn,, indukfnost a kapacita obvodu, kter‡ by mohla nap‰eklad zp‰sobit probl...my komunikaci mezi mikrokontrol...rem a p‰evodn,,kem, kdy by mohlo doch‡zet p‰ekmitŠm fi neostr^m n‡b n^m hran‡m jednotliv^ch bitŠ.

### 5.1 PrvnŠ varianta” elektrick< sch<ma

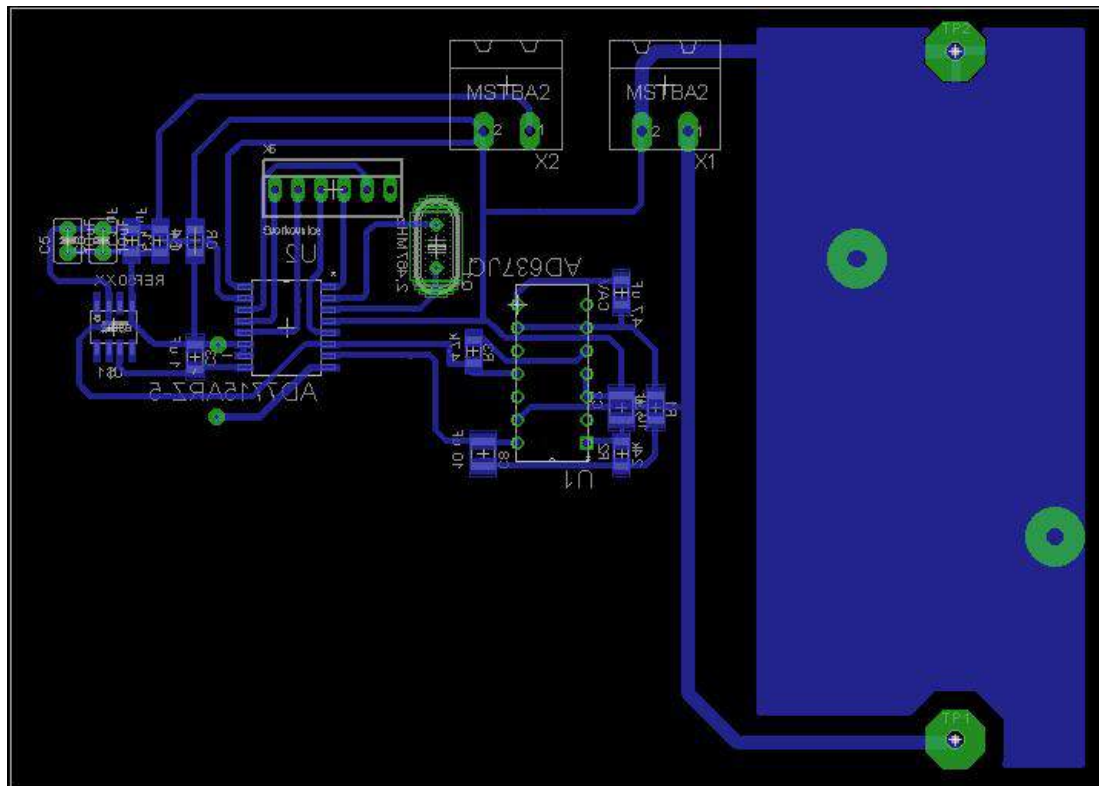
Elektrick... sch...ma je rozd‡leno dvoou f‡st,:;

- Zisk nap†‘ov...ho sign‡lu z bofn,,ku a zapojen,, RMS to DC konvertoru
- P‰evod analogov...ho sign‡lu na digit‡ln,,

Tyto jednotliv... f‡sti jsou souf‡st,, p‰o,,loh t...to pr‡ce.

## 5.2 PrvnŠ varianta- deska ploČEn<ho spoje

N‡vrh desky ploČEn...kpoje je zobrazen na Obr.18. Jeliko< v tomto n‡vrhu nebylo pou<ito operafrn,,ho zesilovafe, line‡rn,,ho regul‡toru apropojovac,, svorky, bylo mo<n... tento n‡vrh realizovat na jednovrstv^ cuprexit.



Obr‡zek 18: N‡vrh desky ploČEn...ho spoje pro variantu bez operafrn,,ho zesilovafe

## 5.3 Druh..varianta - elektrick< sch<ma

Elektrick... sch...ma je rozd‡leno d‰o,, f‡st,:;

- Zisk nap‡‘ov...ho sign‡lu z bofn,,ku a operafrn,,ho zesilovafe
- Zapojen,, RMS to DC konvertoru
- P‰evod analogov...ho sign‡lu na digit‡ln,,

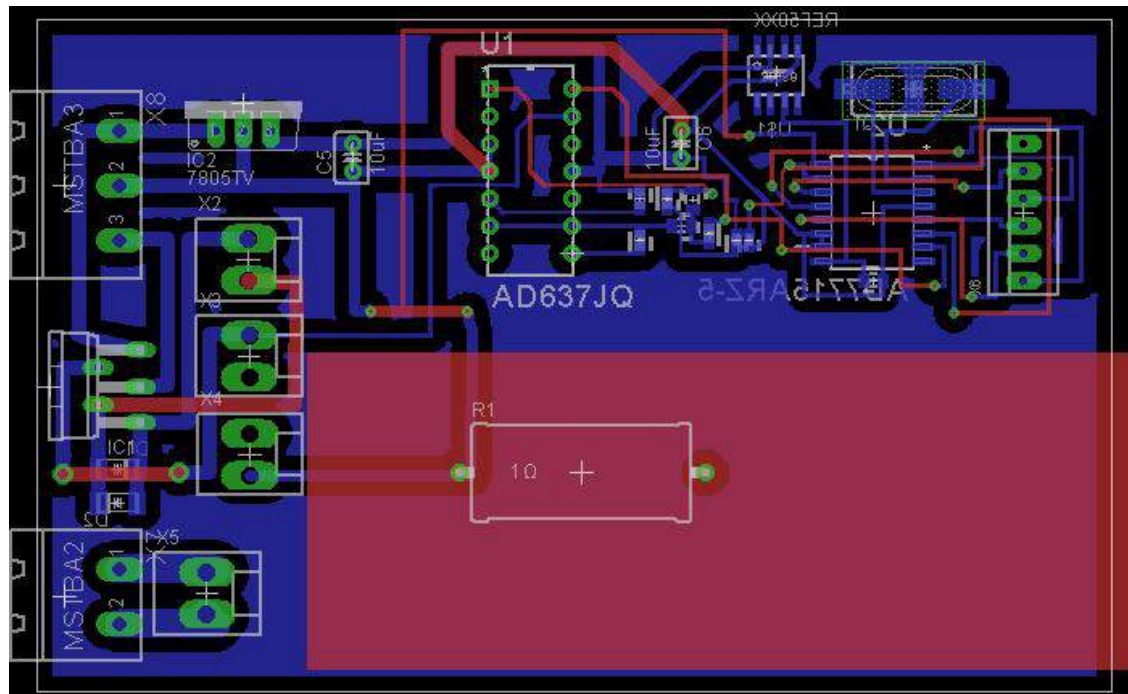
Tyto jednotliv... f‡sti jsou souf‡stp‰o,,loh t...to pr‡ce.

## 5.4 Druh... varianta - deska pločen<sup>ho</sup> spoje

Nížvrh druh..desky pločen...ho spoje zobrazen na Obr.19. Bude použito oboustrann...ho cuprexitu a to pravý zdvodu vyčíta, poftu použit^ch souf^stek, feren^ vytyfen^ prostor bude sloužit k mont^i v^konov...ho rezistoru RX24 50e.

Legenda:

- erven^ plocha - hodn,, vrstva
- Modr^ plocha - spodn,, vrstva
- Zelen^ plocha ' kontakty



Obrázek 19: Nížvrh desky pločen...ho spoje variantu s operafn,,m zesilovaferem

## 5.5 N...vrh komunikace

Jak bylo pops^no v^če, digit^ln,, data bude pot%eba zpracov^vat nejl...pe do SI jednotek. Za t,mto "felem využijeme mikrokotrol...rArduino Mega, kter^ bude data zpracov^vat a zobrazovat na display. Podle datasheetu AD p%evodn,,ku 7715, bude komunikace %oečemqce,, SPI (Serial Peripheral Interface), co<sup>n</sup> nen,, zcela ide^ln,, %oečen,, jeliko<sup>c</sup> je pot%eba konfigurace registr^S a komunikace je obecn^ slo<sup>it</sup>j^E, nap%o, klad oproti I2C rozhran^ter... m^ na tuto finnost vyhrazen^ procesor. [17]

### Komunikace prob,h‡ po 6pinech

- DRDY - data ready
- CS ' chip select
- DIN ' digit‡ln,, v^stup
- DOUT ' digit‡ln,, vstup
- SCLK ' seri‡l clock
- RESET ' reset

P‰oifem< naŒem zapjen,, je CS permanentn† uzemn†n^, jeliko< AD p‰eovodn,,k je p‰oipojen pouze na jedno za‰o,zen,,.

Uk‡zka komunikace principu komunikace je zobrazena na Obr.20.

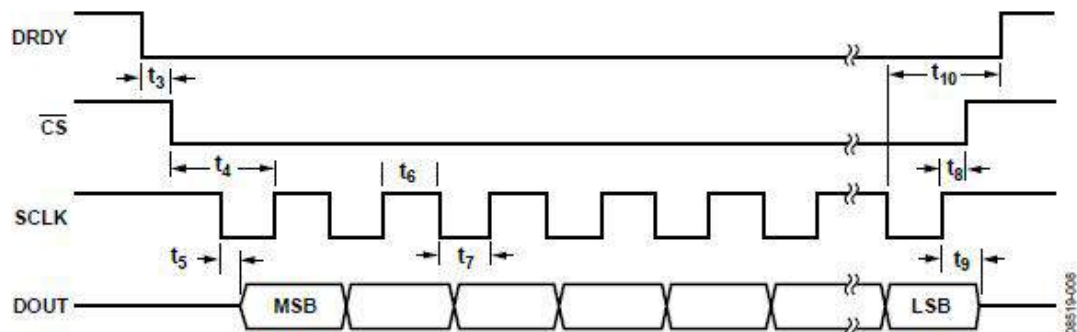


Figure 8. Read Cycle Timing Diagram

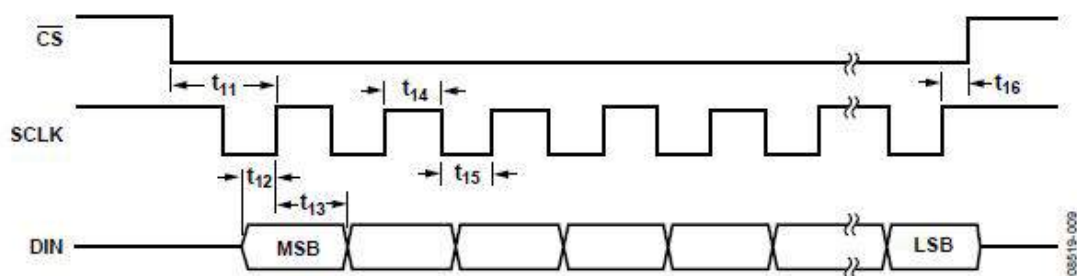


Figure 9. Write Cycle Timing Diagram

Obr‡zek 20: Uk‡zka komunikace AD p‰eovodn,,ku AD7715 (p‰eovzato z [17])



## 5.6 K•d komunikace z mikrokontrolru

V k“du je pouita knihovna <SPI.h>, kter‡ je nativn† souf‡st,, Ardumo IDE. Komunikace mezi mikrokontrol...rena p‰evodn,,kem AD7715, zat,,m nebyla †dnou knihovnou nijak vy‰oeEena a tak bylo pot‰ebla s†to komunikaci zvl‡Œ napsapro naŒe ”felyK“d je psan^ v programovac,,m jazyce Wiring, kter^ vych‡z,, z programovac,,ho jazyka C. Z‡kladem cel...ho programu jsou dv† funkce a to void setup(), kter^ prob‡hne pouze jednou, a b†hem kter...ho dojde kpoft‡tefn,,mu nastaven,, mikropof,,tafea nastaven,, registrŠ AD p‰evodn,,kD‡le je zde funkce void loop(), kter‡ se cyklicky opakuje a t,,m, zajiŒuje periodick... ften,, daDalŒ, dŠleit‡ funkce jefunkce void readFromADCDataRegister(), kter‡ zajiŒuje samotn... ften,, z AD p‰evodn,,ku a je vol‡na pr‡v† v opakuj,,c,, se f‡sti k“du.

K“d mikrokontrol...ru:

```
#include <SPI.h>

const int dataReadyPin = 3;
const int reset = 2;
int i=0;

void setup() {
    Serial.begin(9600);
    SPI.begin();
    SPI.setBitOrder(MSBFIRST);
    SPI.setDataMode(SPI_MODE3);
    SPI.setClockDivider(SPI_CLOCK_DIV16);

    pinMode(dataReadyPin, INPUT);
    pinMode(reset, INPUT);

    setupADC();
}

void setupADC()
{
    int SPIV;
    digitalWrite(reset, LOW);
    delay(1);
    digitalWrite(reset, HIGH);
    Serial.print("SPI.transfer return: ");
    SPIV = SPI.transfer(0x10
    Serial.print(SPIV);
    SPIV = SPI.transfer(0x68);
    Serial.print(" ");
    Serial.println(SPIV);
}
```



```
void readFromADCDataRegister( )
{
    long adcRead1, adcRead2;
    if (!(digitalRead(dataReadyPin)))
    {
        Serial.print("adcRead: ");
        SPI.transfer(0x38);
        delay(1);
        adcRead1 = SPI.transfer(0xFF); // read the 1st byte
        delay(1);
        adcRead2 = SPI.transfer(0xFF);
        Serial.print(adcRead1, DEC);
        Serial.print(" ");
        Serial.print(adcRead2, DEC);
        Serial.print(" ");
        Serial.print(adcRead1, BIN);
        Serial.print(" ");
        Serial.print(adcRead2, BIN);

        adcRead1 <= 8;
        adcRead1 |= adcRead2;
        Serial.print("      ");
        Serial.println(adcRead1, BIN);
    }
}

void loop()
{
    readFromADCDataRegister();
}
```

[19]

## 5.7 Zpracov...nŠ dat z mikrokontrolkru

Dekadicke hodnotu, kter‡ je mikrokontrol. rem pos,,l‡na na s...riovou linku d¤PC, je nutn... tak... u¤ivatelsky interpretovat. ¤ t,,mto ”felemylo naprogramov‡no rozhran,, vprogramovac,,m jazyce Python. DalŒ,,m zlepŒen,,bylo zaveden,, medi‡nu do v‰oftu hodnoty proudu. Medi‡n je vypof,,t‡v‡nze sta hodnot a t,,mdojde k omezen,,vlivu ¤umuna m‡%oen,,.



Kód pro PC:

```
import serial          # umožní nam použít pyserial
import os
import time
from collections import defaultdict

def median(aData):
    setrizeno = sorted(aData)
    delka = len(setrizeno)
    if not delka % 2:
        return (setrizeno[delka / 2] + setrizeno[delka / 2 - 1]) / 2.0
    return setrizeno[delka / 2]

rx = 0
data = []
com = serial.Serial(5)  # inicializace portu COM
while 1:
    data = []
    # do promenne rx nacte vše co je ve vstupním bufferu az
    do enteru
        # uzavře port
        nb = raw_input()
        for i in range(100):
            com.write("n")
            #time.sleep(0.001)
            rx = com.readline()
            data.append(int(rx))
            #print (median(data))
        print (median(data) * 0.000069427490234375)
        del data
com.close()
```



## 6 V-PO•ET TEORETICK' P•ESNOSTI /NEJISTOTY SOUSTAVY

V "vodu by bylo dobr... zdŠraznit,  $\epsilon$  term,,n p%oesnost fi chayn‰oen,, ji< nen,, zcela spr‡vn^ term,,n a m‡lo by se pou<,vat term,,nu nejistota m‡‰en. V n‡sleduj,,c,,m p%,,pad† se nov... terminologii jedn‡ o nejistotu typu B, kter‡ se na rozd,l od nejistoty typu A nezakl‡d‡ na statistick...m m‡‰en,,.

[20]

Nejistota soustavy typu B se skl‡d‡ z nejistoty jednotliv^ch prvkŠ. Nejistoty jednotliv^ch prvkŠ jsou rozepsan..v Tab.3. V tabulce je tak... uedena teoretick‡ nejistota pro n‡mi zvolen^ proudov^ transform‡tor, kdy vyu<,v‡me zjednoduŒj,,c,,ho p%edpokladu,  $\epsilon$  nejistot proudov...ho transform‡toru kles‡ p%,,mo "m‡rn‡ provozn,,m zd‡nliv^m v^konem transform‡toru, jak bylo naps‡no v kapitole 2.5. V^ pofet teoretick... nejistoty uveden ve vztahu 6.1.

$$u_{B\_1VA} = \frac{S_{pou,vanf}}{S_{nominální}} \cdot u_{B\_nominální} = \frac{1}{15} \cdot 0,5 = \frac{1}{30} = 0,0333\% \quad (6.1)$$

Tabulka 3: Tabulka p%oesnost,, d,,lf,,ch prvkŠ

Tabulky třídy přesnosti (převzato z [14,15,17])	
Prvek	Třída přesnosti [%]
Proudový transformátor - přepočtený	0,0333
AD převodník AD7715	0,0015
RMS to DC převodník AD637	0,02
REF5020	0,05

Jak je naps‡no v^Œe, celkov‡ p%oesnost syst...mu je geometrickoufet d,,lf,,ch p%oesnost,, jednotliv^ch prvkŠ, tud,,< celkov‡ p%oesnost soustavy je vypoř,ti narovnici 6.2

$$u_B = \sqrt{u_{B\_1VA}^2 + u_{B\_AD7715}^2 + u_{B\_AD637}^2 + u_{B\_REF5020}^2} \quad (6.2)$$

$$u_B = \sqrt{0,0333^2 + 0,0015^2 + 0,02^2 + 0,05^2} = 0,06333$$

Podle rovnice 6.2 je vid†t,  $\epsilon$  teoretick‡ p%oesnost m‡‰o,,c,, soustavy bude 0,0633



## 7 OV,,‘EN€ P‘ESNOSTI /NEJISTOTY SOUSTAVY

Pro ov†%en,, p%oestí o... soustavy bylo sestaveno^Ce popsan... %oeCen,, potom z...m...nou, e jsme si sekund...rn,, vinut,, proudov...ho transform...toru nahradili zd...ejn ve form... autotransform...toru znafky Thalheim typ EES 100 10A a to hlavn... zekonomicc ch d...vod... aby nebylo nutn..kv...li jednomu m...%en,, kupovatn...vrhu popsan^ proudov^ transform...tor, pro kter^ by d...le nebylo k...dn... vyu...it,,. Pro zachov...n...relevantnosti v...sledk... budou uvedeny dva typy nejistot typu A, jedna vych...zej,,c,, fist... ze statistick...ho m...%en,, a druh... bude obsahovat chyb...j,,c,, nejistotu, kterou by to syst...mu vnesl proudov^ transform...tor a...ko referen...n,, m...%oidlo bylo pou...ito Fluke 8845A, jeho<sup>c</sup> kalibra...n,, list je souf...st,, p...o...lo...V...sledky m...%en,, a...poft... jsou uvedeny v n...sleduj,,c,,ch tabulk...ch.

### 7.1 Tabulky v...sledk...t

Tabulka 4: Legenda nam...%en...ch a vypo...ten...ch hodnot

Označení	Slovní popis
$I_{2\_REF}$	Referenční proud změřený pomocí Fluke 8845A
$N$	Dekadicke hodnota z AD převodníku
$I_C$	Hodnoty proudu vypočtené z hodnot naměřených demonstrátorem
$I_1$	Proud primárním vinutím
$\bar{N}$	Střední hodnota dekadické hodnoty z AD převodníku
$\bar{I}_{2\_REF}$	Střední hodnota změřeného referenčního proudu
$\bar{I}_C$	Střední hodnota proudu vypočteného z hodnot naměřených demonstrátorem
$\hat{I}_C^2$	Rozptyl z hodnot proudu vypočtených z naměřených hodnot
$u_{A-I_C}$	Nejistota typu A proudu vypočteného z hodnot naměřených demonstrátorem
$u_{A-I_C-2}$	Nejistota typu A proudu respektující nejistotu, kterou by do systému vnesl námi vybraný proudový transformátor
$u_{I_C}$	Rozšířená nejistota soustavy
$K$	Korekce

Tabulka 5: Konstanty pro v...pofet

Označení a jednotka	Slovní popis	Hodnota
$U_{REF} [V]$	Napěťová reference	4,55
$k [A]$	Hodnota jednoho dílku	0,000069427490234375
$k_2 [A]$	Maximální zvolený rozsah	1



Tabulka 6: Nam†%en... a vypoften... hodnoty

$I_{2\_REF} [A]$	$N [-]$	$I_C [A]$
0,00064	4	0,00028
0,00064	39	0,002708
0,00064	27	0,001875
0,00064	34	0,002361
0,00064	20	0,00139
0,20165	2906	0,201756
0,20166	2903	0,201548
0,20355	2912	0,202173
0,20633	2942	0,204256
0,20079	2882	0,20009
0,40455	5837	0,405248
0,40554	5822	0,404207
0,40646	5858	0,406706
0,40634	5845	0,405804
0,40638	5868	0,407401
0,60876	8744	0,607074
0,60876	8738	0,606657
0,60873	8741	0,606866
0,60832	8780	0,609573
0,60823	8741	0,606866
0,80457	11584	0,804248
0,80457	11575	0,803623
0,80454	11594	0,804942
0,80460	11591	0,804734
0,80560	11616	0,80647
1,00136	14438	1,002394
1,00135	14403	0,999964
1,00136	14424	1,001422
1,00136	14437	1,002325
1,00135	14433	1,002047



Tabulka 7: Nameřené a vypočtené hodnoty 2

$\bar{I}_C$ [-]	$\bar{N}$ [-]	$\bar{I}_{2\_REF}$ [A]	$\sigma_{I_C}$ [mA]	$u_{A-I_C}$ [%]	$u_{A-I_C-2}$ [%]	$u_{I_C}$ [%]	$K$ [mA]
0,001055	15,2	0,00064	1,79266	0,17927	0,18233	0,19302	-0,417
0,201965	2909	0,20279	1,50195	0,1502	0,15384	0,16637	0,827
0,405873	5846	0,40585	1,24486	0,12449	0,12886	0,14359	-0,019
0,607407	8749	0,60856	1,21983	0,12198	0,12645	0,14142	1,153
0,804803	11592	0,80477	1,0609	0,10609	0,11119	0,12797	-0,03
1,00163	14427	1,00135	1,0073	0,10073	0,10609	0,12356	-0,276

## 7.2 Příkladvýpočtu:

Číselné hodnoty odpovídají poslednímu řádku a v případě výpočtu středních hodnot, rozptylu a nejistoty typu B se jedná o hodnoty z posledních pěti řádků. V případě rozptylu, je výpočet pouze naznačen, z důvodu délky zápisu.

$$I_C = k \cdot N = 0,000069427490234375 \cdot 14433 = 1,002047 \text{ A} \quad (7.1)$$

$$\bar{I}_C = \frac{\sum I_C}{n} = \frac{1,002394 + 0,999964 + 1,001422 + 1,002325 + 1,002047}{5} = 1,00163 \text{ A} \quad (7.2)$$

$$\bar{N} = \frac{\sum N}{n} = \frac{14438 + 14403 + 14424 + 14437 + 14433}{5} = 14427 \quad (7.3)$$

$$\bar{I}_{2\_REF} = \frac{\sum I_{2\_REF}}{n} = \frac{1,00136 + 1,00135 + 1,00136 + 1,00136 + 1,00135}{5} = 1,00135 \text{ A} \quad (7.4)$$

$$\sigma_{I_C} = \sqrt{\frac{\sum (I_C - \bar{I}_C)^2}{(n-1)}} = \sqrt{\frac{(1,002394 - 1,00163)^2 + \dots + (1,001345 - 1,00163)^2}{4}} = 1,0072969 \text{ A} \quad (7.5)$$



$$u_{A-I_C} = 2 \cdot \frac{\sigma_{I_C}}{k_2} \cdot 100 = \frac{0,0010072969}{1} \cdot 100 = 0,10073 \% \quad (7.6)$$

$$u_{A-I_C-2} = \sqrt{u_{A-I_C}^2 + u_{B_{IV}}^2} = \sqrt{0,10073^2 + 0,0333^2} = 0,10609 \% \quad (7.7)$$

$$u = \sqrt{u_{A-I_C-2}^2 + u_B^2} = \sqrt{0,10609^2 + 0,0633} = 0,12356 \% \quad (7.8)$$

$$K = I_{2\_REF} - I_C = 1,001354 - 1,00163 = -0,276 mA \quad (7.9)$$

Tabulka 8: Tabulka měřících přístrojů

Typ přístroje	Výrobce	Název	Sériové číslo
Multimetr	Fluke	8845A	9564012
Laboratorní stůl	Diametral	---	654VUT5020
Osciloskop	Tektronix	TPS 2012B	TPS2012B C010718
DC zdroj	Diametral	---	74315DC23

### 7.3 Grafické zobrazení naměřených výsledků

Grafy porovnávající proud změřený referenčním měřidlem, proud změřený naším demonstrátorem a graf zobrazující korekční křivku jsou součástí přílohy této práce.

### 7.4 Adjustace výpočtu proudu demonstrátorem

Pomocí námi naměřených hodnot jsme schopni adjustovat rovnici přímky, podle které se mikrokontrolér vypočítává výslednou hodnotu proudu.

Ideální rovnice přímky viz rovnice 7.10

$$I_C = \frac{U_{REF}}{ROZLIŠENÍ AD PŘEVODNÍKU} \cdot N = \frac{4,55}{2^{16}} \cdot N = 6,942749023 \cdot 10^{-5} \cdot N \quad (7.10)$$

Rovnice přímky získaná lineární approximací naměřených hodnot z referenčního měřidla viz rovnice 7.12, rovnice byla vygenerována programem Excel 2013

$$I_{2\_REF} = 6,942088655 \cdot 10^{-5} \cdot N - 2,5175953495 \cdot 10^{-4} \quad (7.12)$$



## ÚSTAV VÝKONOVÉ ELEKTROTECHNIKY A ELEKTRONIKY

Fakulta elektrotechniky a komunikačních technologií

Vysoké učení technické v Brně

Dále máme rovnici přímky získanou lineární approximací hodnot naměřených naším demonstrátorem, viz rovnice 7.13, rovnice byla vygenerována programem Excel 2013

$$I_C = 6,942731508 \cdot 10^{-5} \cdot N - 1,2215482678 \cdot 10^{-6} \quad (7.13)$$

Pokud chceme vypočítat adjustační koeficient alfa je potřeba podělit směrnici přímky referenčního měřidla (rovnice 7.12) směrnicí přímky ideální rovnice (rovnice 7.11), tak jak naznačeno v rovnici 7.14

$$\alpha = \frac{k_{2\_REF}}{k_{IDEÁLNÍ}} = \frac{6,942088655 \cdot 10^{-5}}{6,942749023 \cdot 10^{-5}} = 0,9999048838 \quad (7.14)$$

Nyní, když máme adjustační koeficient, tak můžeme upravit rovnici přímky v mikrokontroléru a tím bychom měli získat co nejpřesnější hodnoty z našeho přípravku. Adjustovaná rovnice je sepsána v rovnici 7.15

$$I_{ADJUST} = \alpha \cdot I_{IDEÁLNÍ} \cdot N - q_{2\_REF} \quad (7.15)$$

$$I_{ADJUST} = 0,9999048838 \cdot 6,942749023 \cdot 10^{-5} \cdot N - 2,5175953495 \cdot 10^{-4}$$

$$I_{ADJUST} = 6,942088655 \cdot 10^{-5} \cdot N - 2,5175953495 \cdot 10^{-4}$$



## 8 ZEV•R

V bakal sk... pr ci se poda lo splnit v ozechny body zad n,,p n,,ch kapitol ch jsou teoreticky rozebran... mo nosti m en,, vysok ch proud  a je zde zvolena fin ln,, metoda, kter  byla vyu ita pro stavbu diskutovan ho demonstr toru. N sledn  je detailn  pops n teoretick  n vrh a konstrukce sestavy s od evodn n,,m volby jednotliv ch prvk . T et,, f st pr ce se zab v  v poftem nejistoty typu B pro zvolenou sestavu, kdy v sledkem je  $u_B = 0,0633\%$ . Posledn,, f st pr ce m la za  kol ov it re lnou hodnotu nejistot, kdy sestaven  demonstr tor p i jmenovit ch parametrech dosahoval hodnoty 0,10609 % pro nejistotu typu A a hodnoty 0,12356 % pro roz o, enou nejistotu m en,,.

Samotn  konstrukce p ,pravku byla prov d na vnit kolika variant ch, ne  se poda lo odstranit jak chyby v n vrhu, tak chyby p i vypracov n,, Z sadn,, a z rove Z nejproblematif j%, souf stkovu v n vrhu se stal 16 bitov  analog-digital p evodn,,k AD7715, u kter...ho p i o ivov n,, komunikace mezi mikrokontrol...rem a p evodn kem i p es spr vn... nastaven,, registr e p evodn,,ku, nebylo mo n... z,,skat v stupn,,ho pinu DRDY nulovou hodnotu. T,,m by zapofalo pos,,l n,, dat z p evodn,,ku do mikrokontrol...ru. N sledn  bylo dosp no ke zji ot n,, Še p evodn,,k byl po kozen nespojen,,m zem,, mezi p evodn,,kem a mikrokontrol...rem. Ne  byla tato chyba odhalena, byly znifen y dva p evodn,,ky. P i o ivov n,, komunikace bylo d le zji ot no, Še vzd lenosti mezi p evodn,,kem a procesorem mikrokontrol...ru, respektive piny MOSI/MISO, byla zbytefn  dlouh , co  m lo za n sledek vysokou parazitn,, kapacitu vodif , kter  se projevovala z kmity jednotliv ch komunikacn,,ch bit .

Hodnoty nejistot byly ovlivn ny probl...mem, kter  nastal snap ovou referenc,, pro AD p evodn,,k, kdy hodnota jej,,ho v stupu byla 4,55 V nam,,sto jmenovit ch 2,048 V, co  v,,ce ne  dvojn sobn  sn,, ilo rozli en,, AD p evodn,,ku. D le se d le p edpokl dat, Še demonstr tor by dosahoval lep o, ch parametr  p i pou it,, proudov...ho transform toru kompenzovan...ho opera n,,m zesilovafem, jak bylo p evodn  zam eleno. Jak je oak v r ci zm,,n no, tato varianta nebyla dokonfena, proto  se nepoda lo zamezit samovoln m kmit m opera n,,ho zesilova . Velice v hodn  prvek, kter  zaji ouje sn,, en,, vlivu %umu, tedy i sn,, en,, nejistoty demonstr toru, je samostatn  v pofet proudu z e sta hodnot, pomoc,, funkce pro st edn,, hodnotu, kter  je implementov n v k du zpracov vaj,,c,,m data zmikrokontrol...ru.



## POUŽITÁ LITERATURA

- [1] *Datasheet HMC5883L*. Plymouth, 2013. Dostupné z:  
[http://www51.honeywell.com/aero/common/documents/myaerospacecatalog-documents/Defense\\_Brochures-documents/HMC5883L\\_3-Axis\\_Digital\\_Compass\\_IC.pdf](http://www51.honeywell.com/aero/common/documents/myaerospacecatalog-documents/Defense_Brochures-documents/HMC5883L_3-Axis_Digital_Compass_IC.pdf) LÁČÍK
- [2] POPEK, Jiří. *POROVNÁNÍ VLASTNOSTÍ PŘÍSTROJOVÝCH TRANSFORMÁTORŮ PRODU A PROUDOVÝCH SENZORŮ*. Brno, 2010. Dostupné z:  
[https://www.vutbr.cz/www\\_base/zav\\_prace\\_soubor\\_verejne.php?file\\_id=26561](https://www.vutbr.cz/www_base/zav_prace_soubor_verejne.php?file_id=26561). Bakalářská práce. VUT FEKT Ústav elektroenergetiky. Vedoucí práce Ing. David Topolánek.
- [3] SolarSKI robotics. *SolarSKI robotics* [online]. [cit. 2014-11-15]. Dostupné z:<http://www.solarskit.wz.cz/source/elt/alarmhs/princip.gif>
- [4] Automatizace HW. VOJÁČEK, Antonín. [online]. 2007. vyd. [cit. 2014-11-16]. Dostupné z:<http://automatizace.hw.cz/co-je-k-cemu-je-jak-funguje-rogowskeho-civka>
- [5] VACULÍK, VLASTIMIL. *SNÍMAČE PRODUDU*. Brno, 2011. Dostupné z:  
[https://www.vutbr.cz/www\\_base/zav\\_prace\\_soubor\\_verejne.php?file\\_id=56996](https://www.vutbr.cz/www_base/zav_prace_soubor_verejne.php?file_id=56996). Diplomová práce. VUT FEKT Ústav výkonové elektrotechniky a elektroniky. Vedoucí práce DOC. DR. ING. MIROSLAV
- [6] CHAUVIN-ARNOUX. *Datasheet*. 2014. Dostupné z: [http://www.chauvin-arnoux.com/catalogues/pdf/PTM/CAT\\_UK\\_pinces2014.pdf](http://www.chauvin-arnoux.com/catalogues/pdf/PTM/CAT_UK_pinces2014.pdf)
- [7] GMW Associates [online]. 2014 [cit. 2014-11-25]. Dostupné z:[http://www.gmw.com/electric\\_current/LEM/IT60-1000-S-Pricing.html](http://www.gmw.com/electric_current/LEM/IT60-1000-S-Pricing.html)
- [8] GROSS, Boleslav. *Laboratorní a numerická cvičení z elektrických přístrojů*. 1. vyd. Brno: Ediční středisko Vysokého učení technického, 1983.
- [9] Current Transducers. DIGI-KEY CORPORATION. *Digi-Key Corporation* [online]. 2014. vyd. 2014 [cit. 2014-11-28]. Dostupné z: <http://www.digikey.com/product-search/en?mpart=20311000101&vendor=1195>
- [10] LEM: Model details. LEM. LEM [online]. [cit. 2014-11-28]. Dostupné z:[http://www.lem.com/hq/en/component/option,com\\_catalog/task,displaymodel/id,71.36.60.001.0/](http://www.lem.com/hq/en/component/option,com_catalog/task,displaymodel/id,71.36.60.001.0/)
- [11] SICHUAN YONGXING ELECTRONICS CO.,LTD. *Datasheet: WIRE-WOUND RESISTORS*. Dostupné z: <http://www.gme.cz/img/cache/doc/114/300/rr-1r0-50w-5-100ppm-metal-wir-yong-datasheet-1.pdf>



- [12] Produkty. MĚŘÍCÍ TRANSFORMÁTORY S.R.O. *Měřící transformátory s.r.o* [online]. [cit. 2014-11-29]. Dostupné z: [http://www.mtbrno.cz/index.php?l=cs&k=produkty&r=s\\_class&proud=1000&trida=0,1](http://www.mtbrno.cz/index.php?l=cs&k=produkty&r=s_class&proud=1000&trida=0,1)
- [13] DataTec. [online]. [cit. 2014-12-01]. Dostupné z: [http://www.datatec.de/shop/pix/a/n/Chauvin\\_Arnoux-p01120509.jpg](http://www.datatec.de/shop/pix/a/n/Chauvin_Arnoux-p01120509.jpg)
- [14] RMS to DC Converter. ANALOG DEVICES. *Analog Devices* [online]. [cit. 2014-12-02]. Dostupné z: <http://www.analog.com/en/special-linear-functions/rms-to-dc-converters/ad637/products/product.html>
- [15] TEXAS INSTRUMENTS. *Datasheet*. 2013. Dostupné z: <http://www.ti.com/lit/ds/symlink/ref5050.pdf>
- [16] PPM Power. PPM POWER. [online]. [cit. 2014-12-03]. Dostupné z: [http://www.pppower.co.uk/images/it\\_60\\_s\\_ultrastab.jpg](http://www.pppower.co.uk/images/it_60_s_ultrastab.jpg)
- [17] ANALOG DEVICES. Analog Devices [online]. [cit. 2014-12-11]. Dostupné z: [http://www.analog.com/static/imported-files/data\\_sheets/AD7715.pdf](http://www.analog.com/static/imported-files/data_sheets/AD7715.pdf)
- [18] ST MICROELECTRONICS. GM Eclectronics [online]. [cit. 2014-12-12]. Dostupné z: <http://www.gme.cz/img/cache/doc/330/149/7805-stm-datasheet-1.pdf>
- [19] LANGSTER. Topic: problem controlling an AD7715 using SPI with an Arduino Uno. In: *Arduino forum* [online]. [cit. 2015-04-25]. Dostupné z: <http://forum.arduino.cc/index.php?topic=109783.0>
- [20] TROJAN, Martin a . 2008. *Standardní nejistoty měření* [online]. Brno [cit. 2015-05-12]. Dostupné z: [https://www.vutbr.cz/www\\_base/zav\\_prace\\_soubor\\_verejne.php?file\\_id=7735](https://www.vutbr.cz/www_base/zav_prace_soubor_verejne.php?file_id=7735). Bakalářská. VUT. Vedoucí práce Ing. Marie Havlíková.



## SEZNAM SYMBOLŮ, VELIČIN A ZKRATEK

Označení	Slovní popis
$I_{2\_REF}$	Referenční proud změřený pomocí Fluke 8845A
$N$	Dekadická hodnota z AD převodníku
$I_C$	Hodnoty proudu vypočtené z hodnot naměřených demonstrátorem
$I_1$	Proud primárním vinutím
$\bar{N}$	Střední hodnota dekadické hodnoty z AD převodníku
$\bar{I}_{2\_REF}$	Střední hodnota změřeného referenčního proudu
$\bar{I}_C$	Střední hodnota proudu vypočteného z hodnot naměřených demonstrátorem
$\sigma_{I_C}^2$	Rozptyl z hodnot proudu vypočtených z naměřených hodnot
$u_{A-I_C}$	Nejistota typu A proudu vypočteného z hodnot naměřených demonstrátorem
$u_{A-I_C-2}$	Nejistota typu A proudu respektující nejistotu, kterou by do systému vnesl námi vybraný proudový transformátor
$u_{I_C}$	Rozšířená nejistota soustavy
$K$	Korekce
$U_{REF}$	Napěťová reference
$k$	Hodnota jednoho dílku
$k_2$	Maximální zvolený rozsah
$P$	Činný výkon
$S$	Zdánlivý výkon
$\mu_0$	Permeabilita vakua
$B$	Magnetická indukce
$I_{CELK}$	Celkový proud procházející smyčkou
$U_H$	Hallové napětí
$R_H$	Hallová konstanta
$U_0$	Napětí na vstupu operačního zesilovače
$R_0$	Odpor mezi invertujícím a vstupem a výstupem operačního zesilovače
$d$	Tloušťka Hallové sondy
$\Phi_1$	Magnetický tok transformátoru
$\Phi_2$	Magnetický tok transformátoru
$U_{11}$	Napětí na sekundární straně transformátoru
$U_{12}$	Napětí na sekundární straně transformátoru
$I_m$	Magnetizační proud
$I_2$	Kompenzační proud z operačního zesilovače



$R$	Rezistivita bočníku
$P_{ZTR}$	Ztrátový výkon na bočníku
$U_{BOČNÍK}$	Napětí na bočníku
$U_{KROK}$	Napětí reprezentující jeden dílek našeho systému
$U_{AW}$	Nejistota 0,1% převedena na absolutní hodnotu napětí
$p$	Převodní konstanta
$I_{OZ}$	Špičková hodnota proudu na výstupu operačního zesilovače
$C_{AV}$	Averaging capacitor – kapacita kondenzátoru k RMS to DC převodníku AD637
$C_2$	Filtrální kondenzátor pro AD637
$C_3$	Filtrální kondenzátor pro AD637
MCLK IN	Vstup oscilátoru
MCLK OUT	Výstup oscilátoru
LM7805	Lineární regulátor napětí s výstupem 5V
REF5020	Napěťová reference 2,048V
OPA544	Operační zesilovač
AD637	RMS to DC převodník
AD7715	16 bitový analog – digital převodník

## SEZNAM SOUČÁSTEK

Označení	Hodnota	Pouzdro	Popis
HC49/U	2,4576 MHz	SMD, 11.5mm x 5 mm	Rezonátor
RX24 1R0 50W	1Ω	METAL	Rezistor
VISHAY CRCW06034K70JNEA	4,7kΩ	SMD 0805	Rezistor
VISHAY CRCW080524KOFKEA	24kΩ	SMD 1206	Rezistor
PANASONIC ECA-2AHG100	10µF	Radiální 6,3 mm	Kondenzátor
AVX UT026D104MAC2F	0,1µF	SMD 1206	Kondenzátor
TDK C2012X5R1A476M125AC	47µF	SMD 1206	Kondenzátor
TDK C1608X5R1C335K080AC	3,3µF	SMD 1206	Kondenzátor
TDK C3216X7R1C685K160AC	6,8µF	SMD 1206	Kondenzátor
HEADER, R/A 5.08MM 2WAY	-----	-----	Napájecí konektor
BUCHANAN 796638-2 HE	-----	-----	Napájecí konektor
AD637JQ	-----	DIL14	RMS to DC převodník
AD7715ARZ-5	-----	SOIC16	AD převodník
REF5020AIDG4	-----	SOIC8	Napěťová reference
Arduino Nano	-----	-----	Mikrokotrolér
PSH02-06PG	-----	-----	Konektor se zámkem
PFH02-06P	-----	-----	Konektor se zámkem



## SEZNAM PŘÍLOH

Číslo přílohy	Popis přílohy
1	Elektrické schéma demonstrátoru s kompenzovaným proudovým transformátorem
2	Elektrické schéma demonstrátoru bez kompenzovaného proudového transformátoru
3	Grafické zpracování a naměřených a vypočtených hodnot
4	Fotografie měřícího stanoviště a kompletního demonstátoru
5	Kalibrační list referenčního měřidla



VYSOKÉ UÈENÍ TECHNICKÉ V BRNÌ  
BRNO UNIVERSITY OF TECHNOLOGY



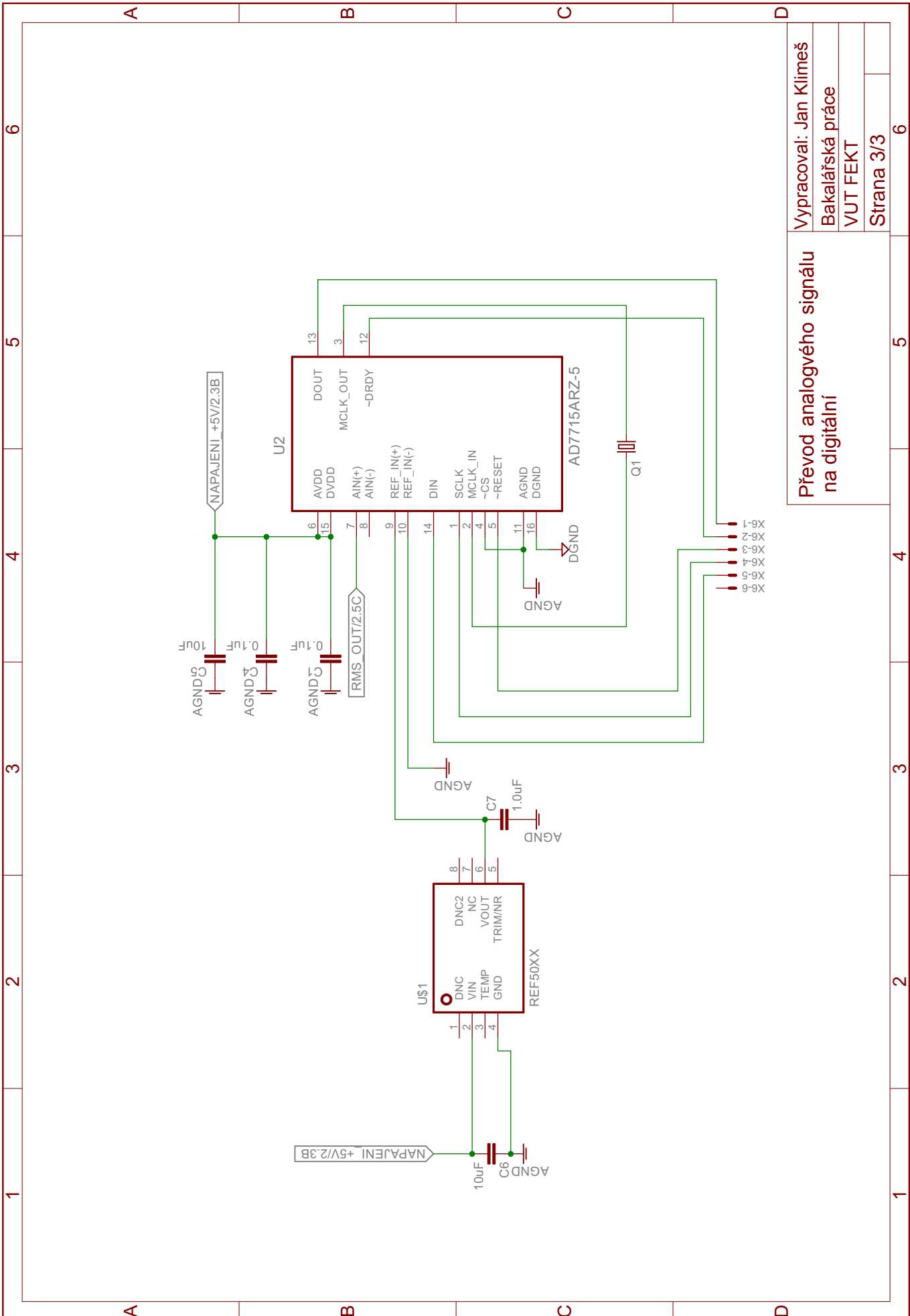
FAKULTA ELEKTROTECHNIKY A KOMUNIKACIÈNÍCH  
TECHNOLOGIÍ  
ÚSTAV VÝKONOVÉ ELEKTROTECHNIKY A  
ELEKTRONIKY  
FACULTY OF ELECTRICAL ENGINEERING AND COMMUNICATION  
DEPARTMENT OF POWER ELECTRICAL AND ELECTRONIC  
ENGINEERING

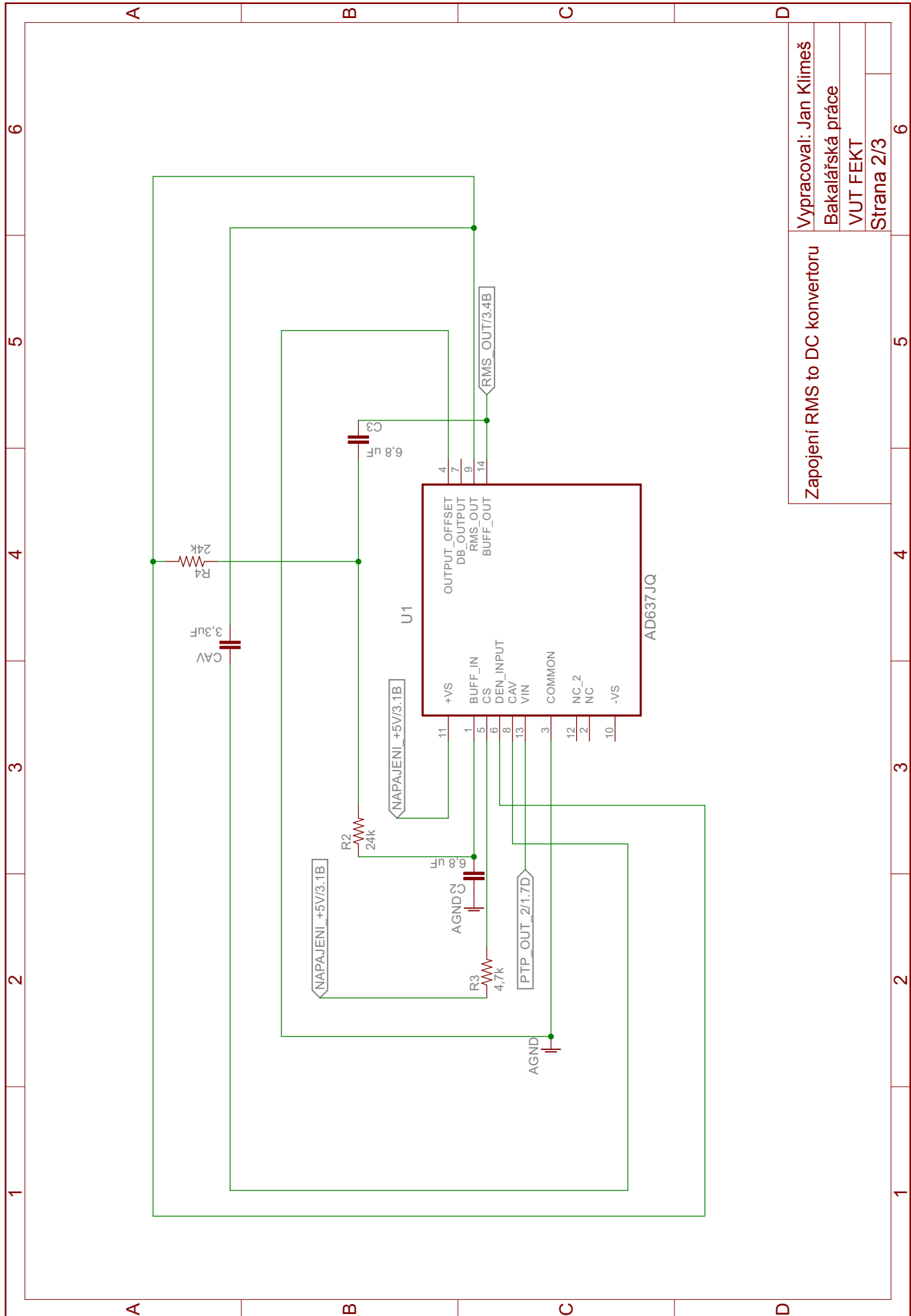
## NÁVRH ZDROJE 1000A AC PRO KALIBRACI SENZORÙ PROUDU

DRAFT SOURCES 1000A AC CURRENT SENSORS FOR CALIBRATION

### PŘÍLOHA Č.1

ELEKTRICKÉ SCHÉMA DEMONSTRÁTORU S KOMPENZOVANÝM  
PROUDOVÝM TRANSFORMÁTOREM

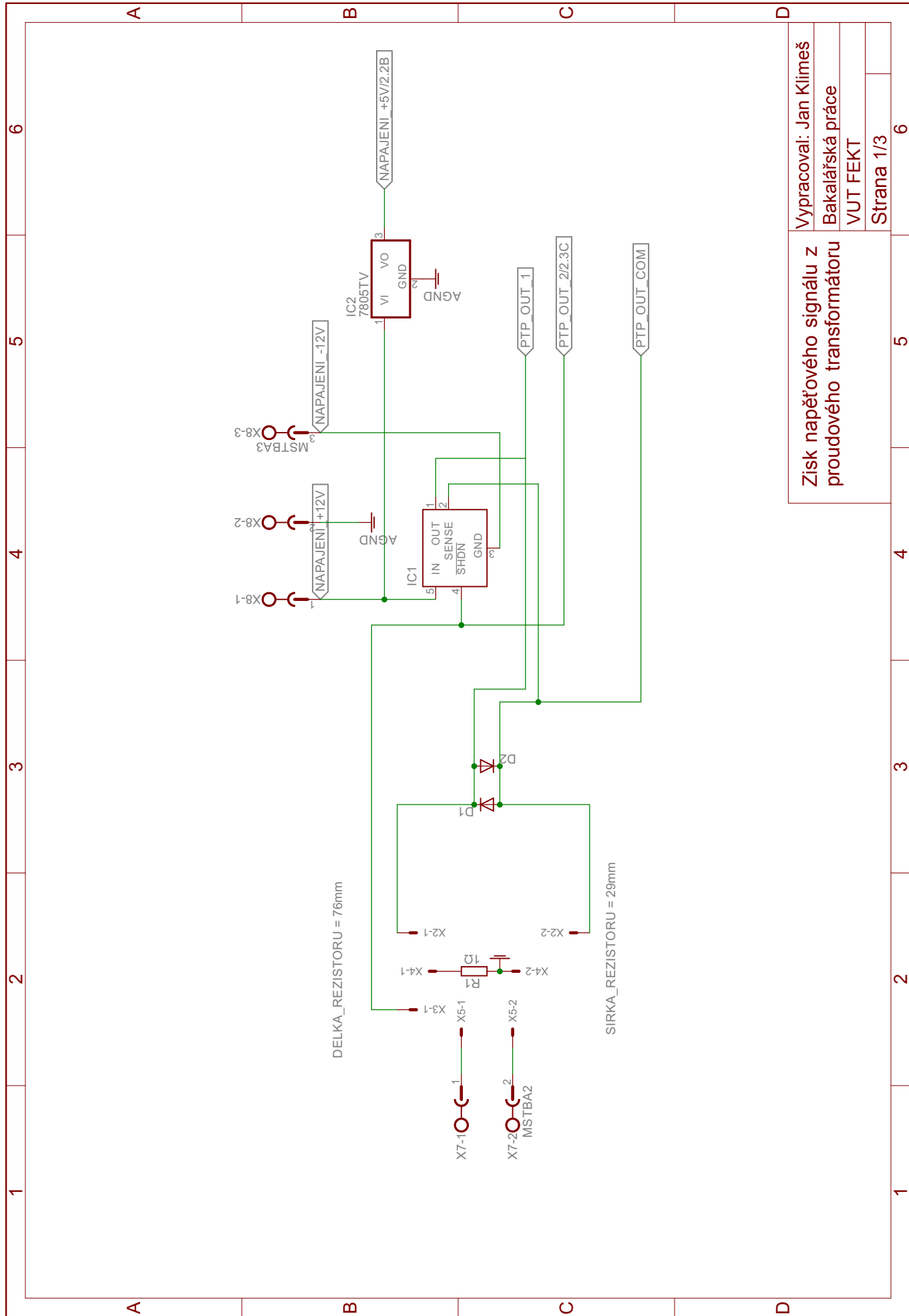




Zapojení RMS to DC konvertoru

Vypracoval: Jan Klimeš  
Bakalářská práce

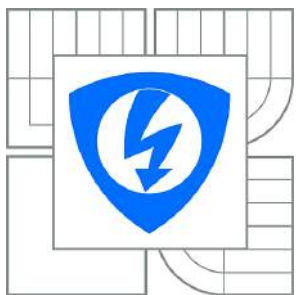
VUT FEKT  
Strana 2/3





VYSOKÉ UÈENÍ TECHNICKÉ V BRNÌ

BRNO UNIVERSITY OF TECHNOLOGY



FAKULTA ELEKTROTECHNIKY A KOMUNIKACIÈNÍCH  
TECHNOLOGIÍ

ÚSTAV VÝKONOVÉ ELEKTROTECHNIKY A  
ELEKTRONIKY

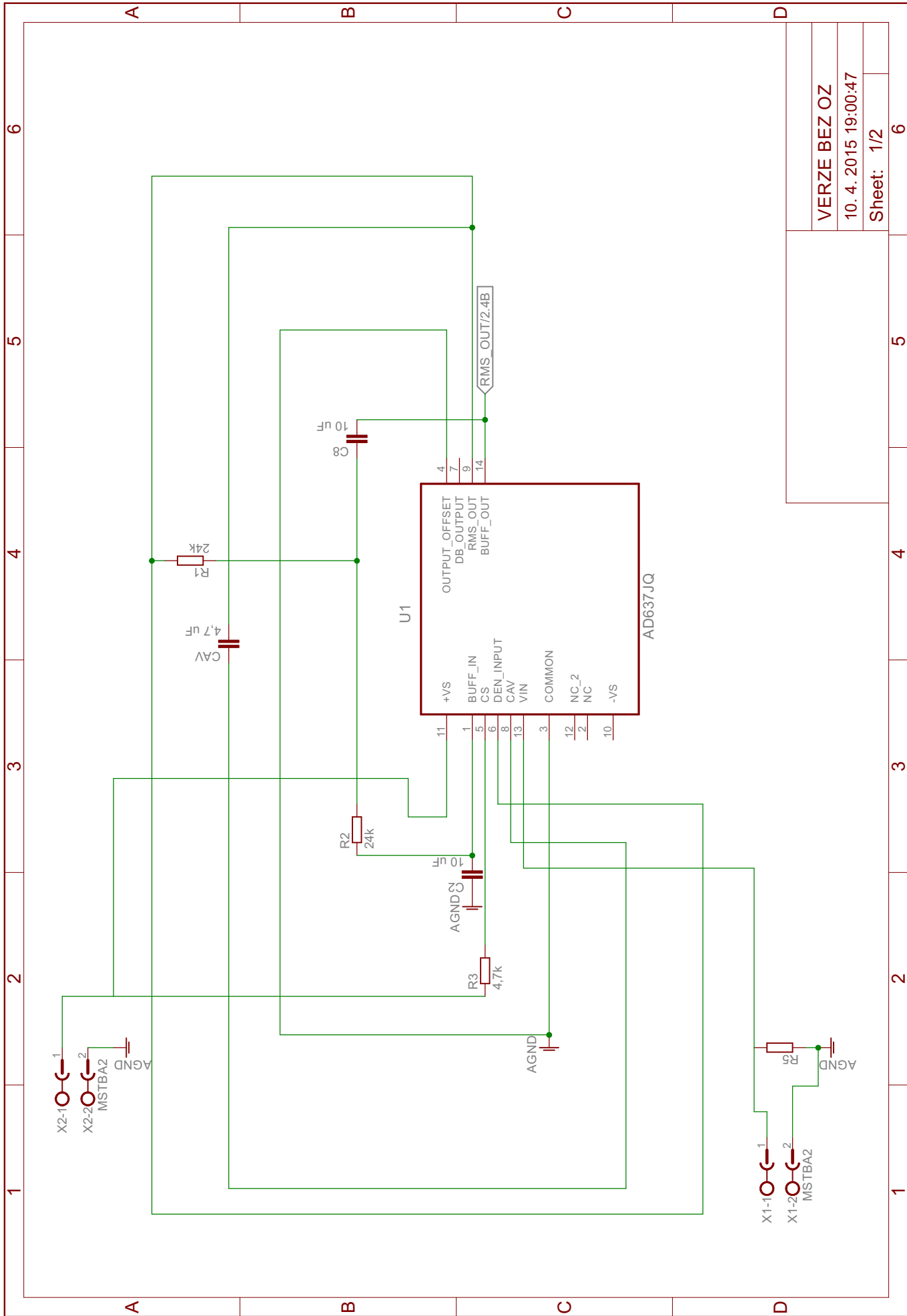
FACULTY OF ELECTRICAL ENGINEERING AND COMMUNICATION  
DEPARTMENT OF POWER ELECTRICAL AND ELECTRONIC  
ENGINEERING

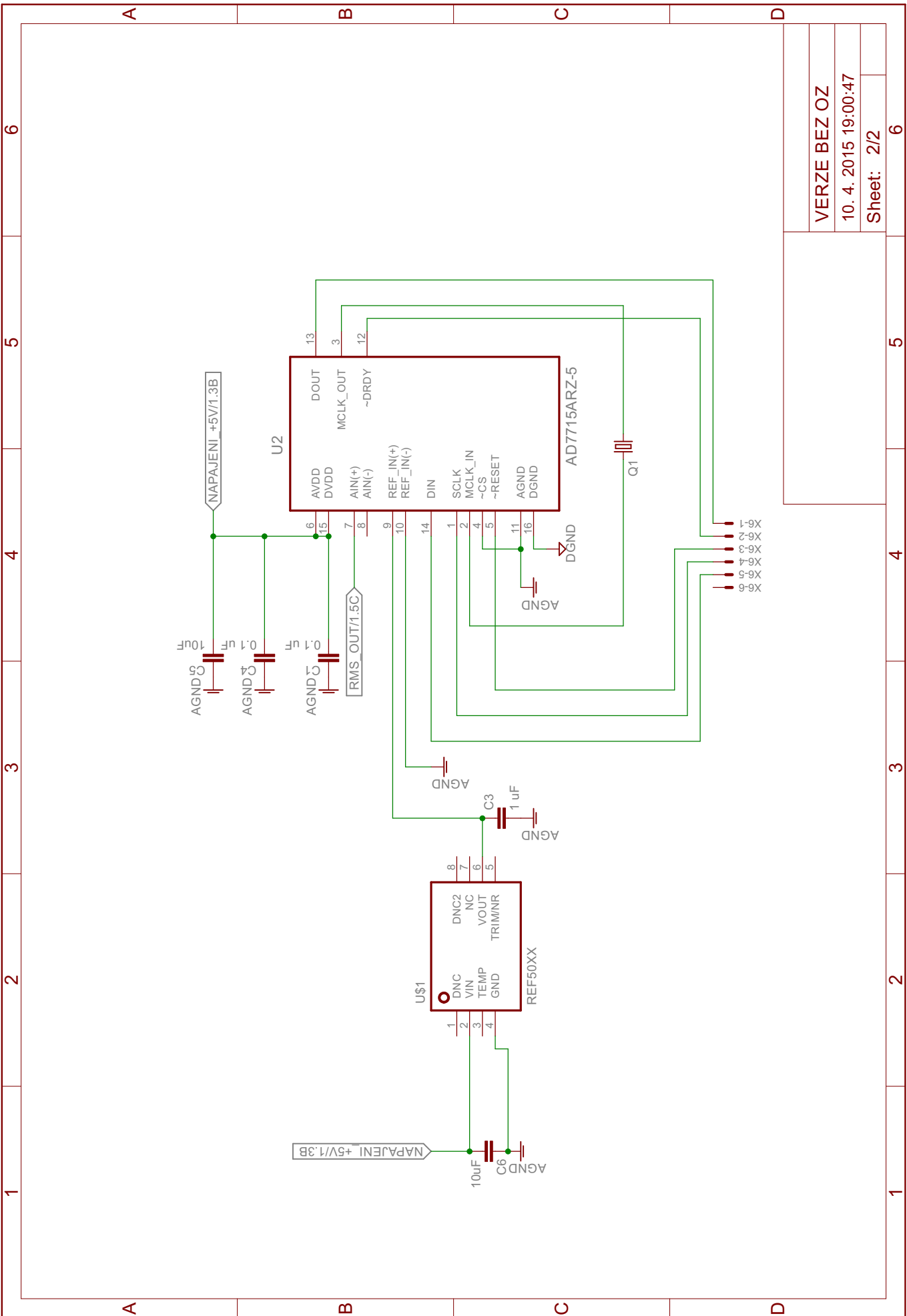
## NÁVRH ZDROJE 1000A AC PRO KALIBRACI SENZORÙ PROUDU

DRAFT SOURCES 1000A AC CURRENT SENSORS FOR CALIBRATION

### PŘÍLOHA Č.2

ELEKTRICKÉ SCHÉMA DEMONSTRÁTORU BEZ KOMPENZOVANÉHO  
PROUDOVÉHO TRANSFORMÁTORU







VYSOKÉ UÈENÍ TECHNICKÉ V BRNÌ  
BRNO UNIVERSITY OF TECHNOLOGY



FAKULTA ELEKTROTECHNIKY A KOMUNIKACIÍ  
TECHNOLOGIÍ  
ÚSTAV VÝKONOVÉ ELEKTROTECHNIKY A  
ELEKTRONIKY  
FACULTY OF ELECTRICAL ENGINEERING AND COMMUNICATION  
DEPARTMENT OF POWER ELECTRICAL AND ELECTRONIC  
ENGINEERING

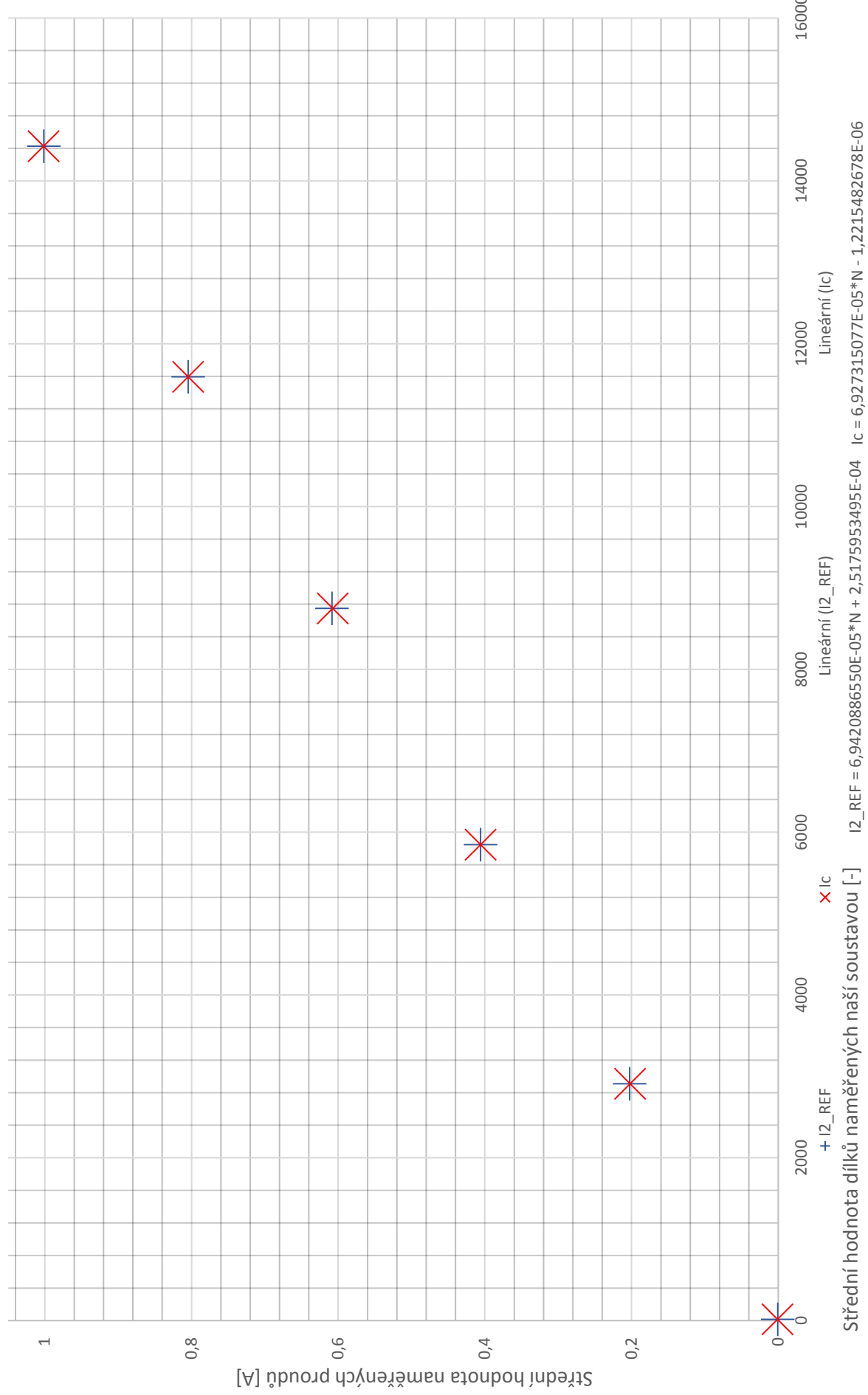
## NÁVRH ZDROJE 1000A AC PRO KALIBRACI SENZORÙ PROUDU

DRAFT SOURCES 1000A AC CURRENT SENSORS FOR CALIBRATION

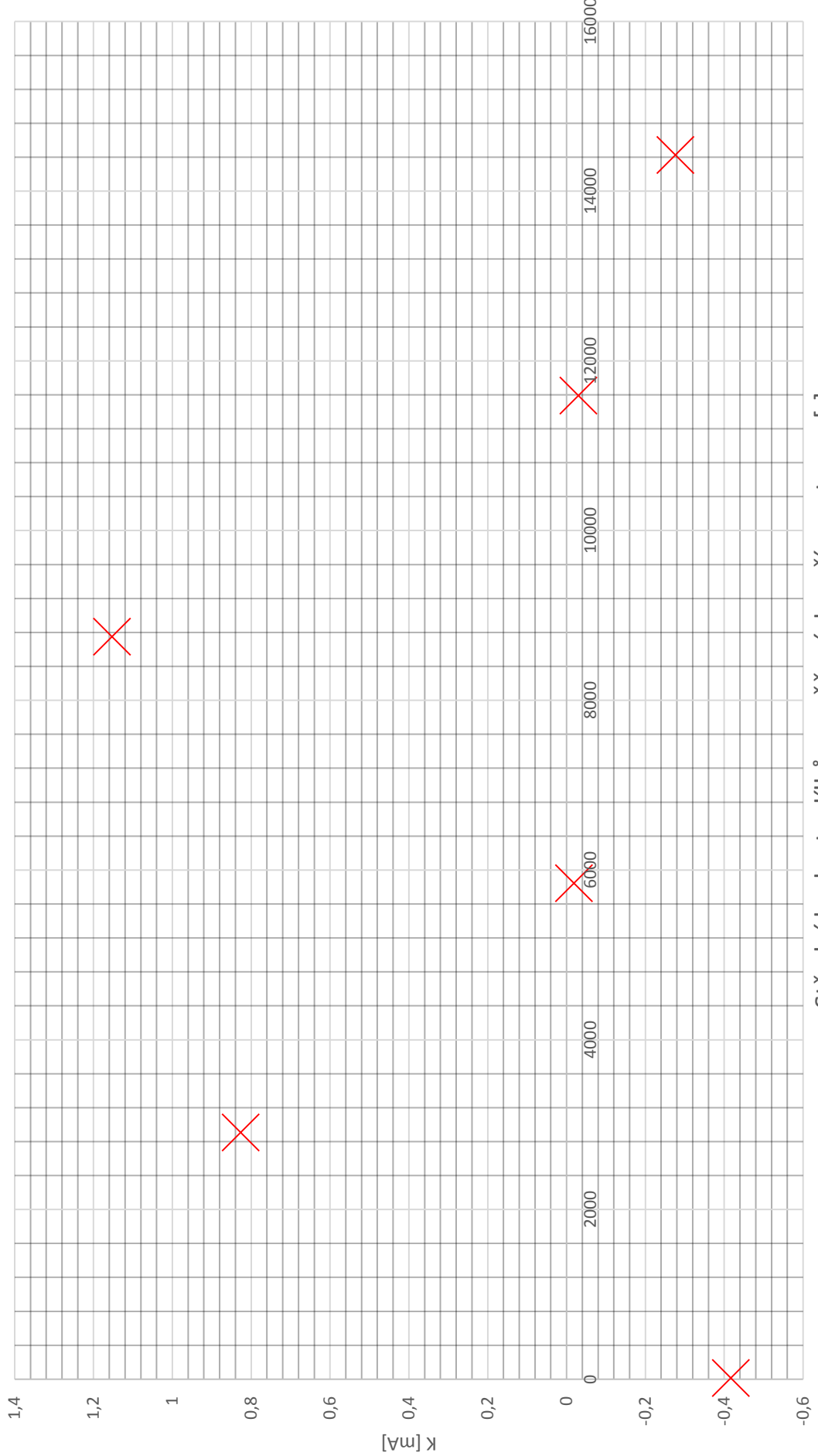
### PŘÍLOHA Č.3

GRAFICKÉ ZPRACOVÁNÍ NAMĚŘENÝCH A VYPOČTENÝCH HODNOT

## Referenční a naměřené hodnoty proudu



## Korekční křivka



Střední hodnota délky naměřených naší soustavou [-]



VYSOKÉ UÈENÍ TECHNICKÉ V BRNÌ  
BRNO UNIVERSITY OF TECHNOLOGY



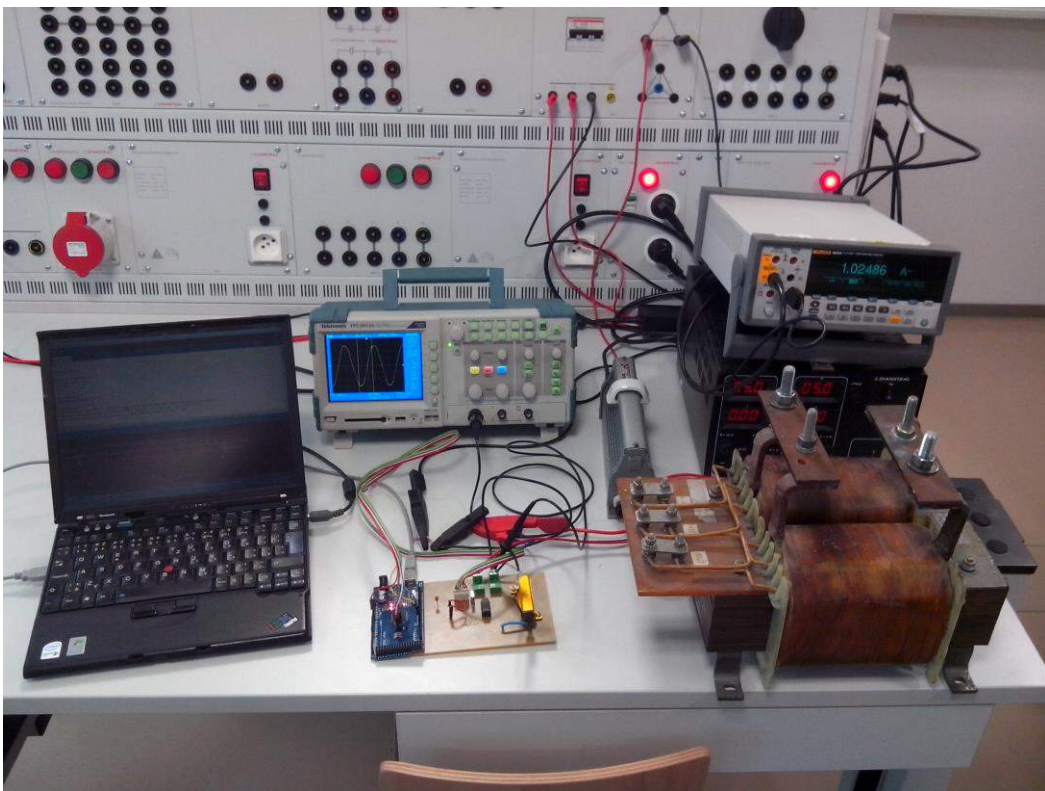
FAKULTA ELEKTROTECHNIKY A KOMUNIKACIÈNÍCH  
TECHNOLOGIÍ  
ÚSTAV VÝKONOVÉ ELEKTROTECHNIKY A  
ELEKTRONIKY  
FACULTY OF ELECTRICAL ENGINEERING AND COMMUNICATION  
DEPARTMENT OF POWER ELECTRICAL AND ELECTRONIC  
ENGINEERING

## NÁVRH ZDROJE 1000A AC PRO KALIBRACI SENZORÙ PROUDU

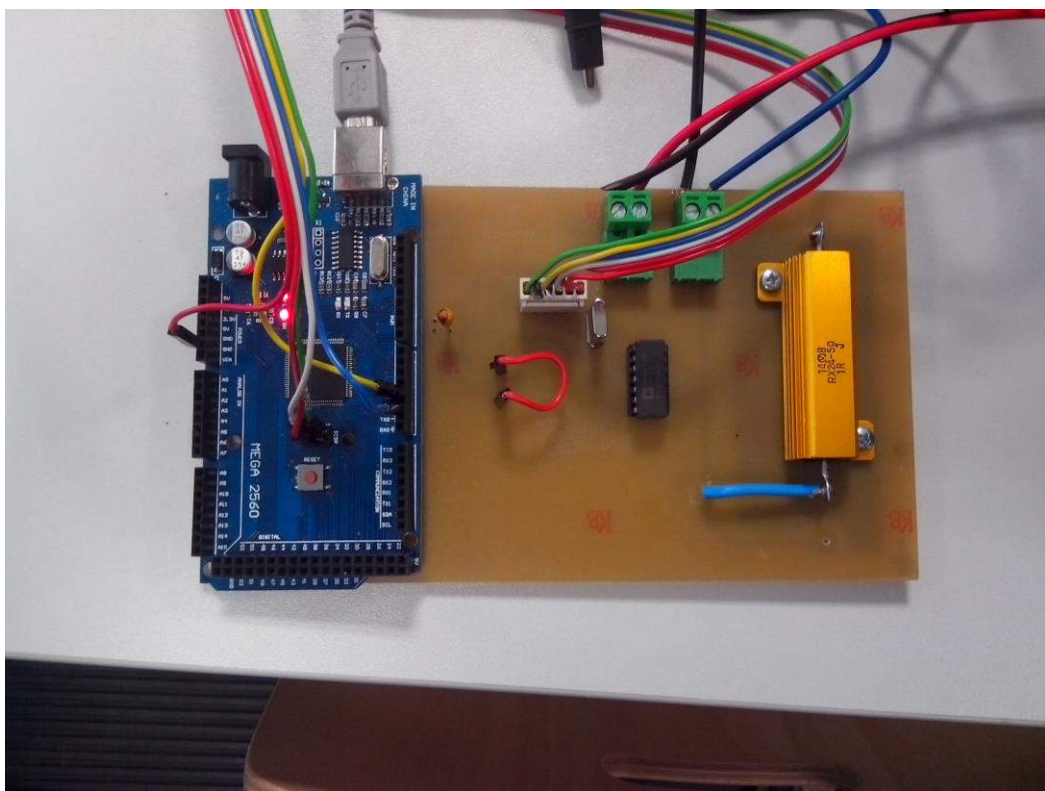
DRAFT SOURCES 1000A AC CURRENT SENSORS FOR CALIBRATION

## PŘÍLOHA Č.4

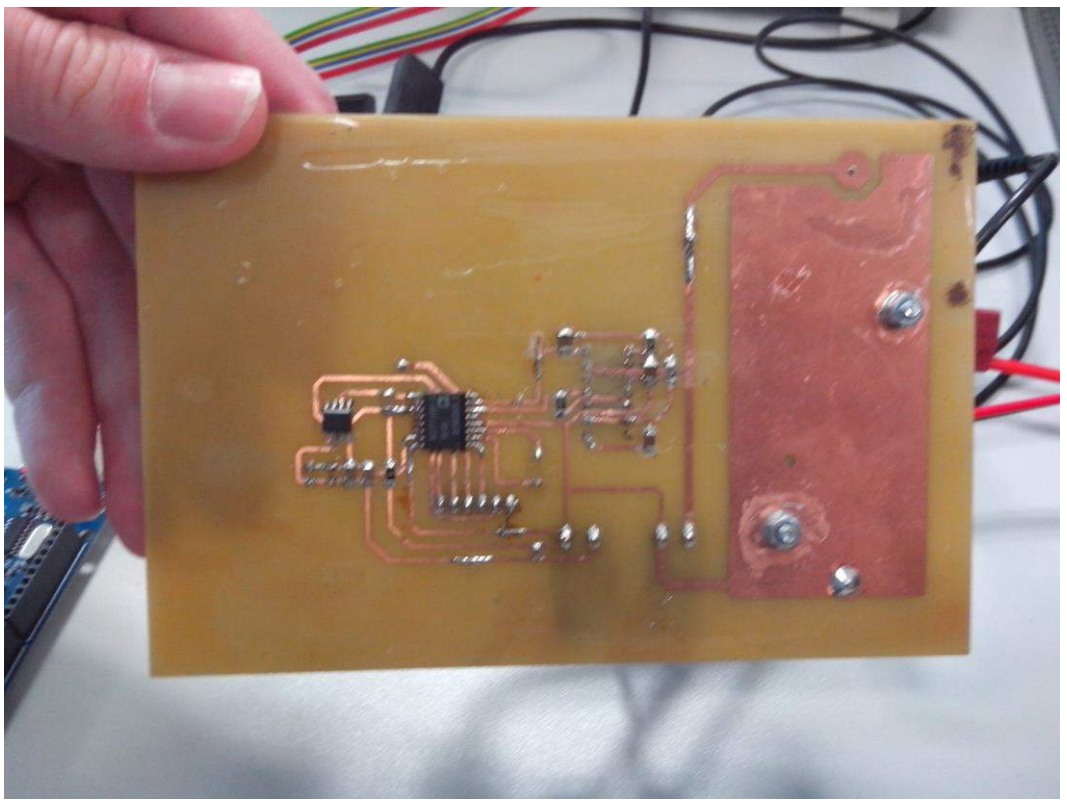
FOTOGRAFIE MĚŘÍCÍHO STANOVÍŠTĚ A KOMPLETNÍHO  
DEMONSTRÁTORU



Fotografie 1: Kompletní měřící soustava



Fotografie 2: Svrchní strana demonstrátoru s mikrokontrolérem



*Fotografie 3: Spodní strana demonstrovátoru*



VYSOKÉ UÈENÍ TECHNICKÉ V BRNÌ  
BRNO UNIVERSITY OF TECHNOLOGY



FAKULTA ELEKTROTECHNIKY A KOMUNIKACIÈNÍCH  
TECHNOLOGIÍ  
ÚSTAV VÝKONOVÉ ELEKTROTECHNIKY A  
ELEKTRONIKY  
FACULTY OF ELECTRICAL ENGINEERING AND COMMUNICATION  
DEPARTMENT OF POWER ELECTRICAL AND ELECTRONIC  
ENGINEERING

## NÁVRH ZDROJE 1000A AC PRO KALIBRACI SENZORÙ PROUDU

DRAFT SOURCES 1000A AC CURRENT SENSORS FOR CALIBRATION

## PŘÍLOHA Č.5 KALIBRAČNÍ LIST REFERENČNÍHO MĚŘIDLA



Kalibrační laboratoř č. 2202 akreditovaná Českým institutem pro akreditaci, o.p.s.

**Pracoviště:** Oblastní inspektorát Brno, Okružní 31, 638 00 Brno  
Oddělení primární etalonáže ss a nf elektrických veličin, tel. +420 545555208, fax +420 545555183

## KALIBRAČNÍ LIST

**6011-KL-L0244-15**

Tento kalibrační list je v souladu s kalibračními schopnostmi měření (CMC), které jsou uvedeny v příloze C Ujednání o vzájemném uznávání (MRA) vydaného Mezinárodním výborem pro míry a váhy (CIPM). Podle tohoto Ujednání všechny zúčastněné instituty vzájemně uznávají platnost svých kalibračních listů pro veličiny, rozsahy a nejistoty měření uvedené v příloze C (podrobnosti viz [www.bipm.org](http://www.bipm.org)).

**Datum vystavení:** 18.03.2015

List 1 z(e) 9 listů

**Zákazník:** Vysoké učení technické v Brně  
Kolejní 7 / VTPPL  
617 00 Brno  
Česká Republika

**Měřidlo:** Číslicový multimetr  
**Výrobce:** Fluke  
**Typ:** 8845A  
**Výrobní číslo:** 9564012

Výsledky kalibrace byly získány za podmínek a s použitím postupů uvedených v tomto kalibračním listě a vztahují se pouze k době a místu provedení kalibrace.

**Použité etalony:** Multifunkční kalibrátor Fluke 5720A, v.č. 9385202, kalibrační list č. 6011-KL-E0057-14.  
Funkční generátor HP 33120A, v.č. US36020138, kalibrační list č. 6011-KL-E0003-15.

Všechny použité etalony mají metrologickou návaznost na (mezi)národní etalony.

**Datum kalibrace:** 09.03.2015

**Kalibraci provedl:**

Ing. Jiří STREIT



**Ředitel Oblastního inspektorátu  
Brno:**

Ing. Radovan WIECEK

**Kalibrační postup:** Kalibrované měřidlo bylo porovnáno se sekundárním etalonem Fluke 5720A. Funkce "FREQ" byla kalibrována přímým porovnáním s funkčním generátorem HP 33120A. Kalibrace byla provedena podle kalibračního postupu č. 611-MP-C098 a 113-MP-C007.

**Podmínky prostředí:** teplota v laboratoři:  $(23.0 \pm 0.7)^\circ\text{C}$   
relativní vlhkost vzduchu:  $(41.0 \pm 10.0)\%$

**Výsledky kalibrace:** Výsledky měření viz tabulky hodnot.  
V tabulkách hodnot jsou uváděny jednorocní specifikace výrobce. Měřidlo nebylo dojustováno. Hodnoty označené "!!!" jsou mimo specifikace uváděné výrobcem. V hodnotách čerpání specifikace není zahrnuta nejistota měření.

**Nejistota měření:** Standardní nejistota měření byla určena v souladu s dokumentem EA-4/02. Uvedená rozšířená nejistota měření je součinem standardní nejistoty měření a koeficientu  $k$ , který odpovídá pravděpodobnosti pokrytí přibližně 95 %, což pro normální rozdělení odpovídá koeficientu rozšíření  $k = 2$ .

Nejistota měření uváděná v tabulkách hodnot platí po zaokrouhlení nahoru na dvě platné číslice.

**Tabulky hodnot:****Stejnosměrná napětí**

Rozsah	Hodnota nastavená	Hodnota zjištěná	Absolutní chyba	Specifikace výrobce	Čerpání specif.	Nejistota měření
100 mV	0.000 00 mV	0.000 0 mV	0.0 µV	± 3.5 µV	0 %	0.6 µV
	100.000 00 mV	99.999 9 mV	-0.1 µV	± 8.5 µV	-1 %	1.3 µV
	-100.000 00 mV	-100.000 2 mV	-0.2 µV	± 8.5 µV	-2 %	1.3 µV
1 V	0.000 000 0 V	0.000 000 V	0 µV	± 7 µV	0 %	1 µV
	1.000 000 0 V	1.000 000 V	0 µV	± 47 µV	0 %	6 µV
	-1.000 000 0 V	-1.000 001 V	-1 µV	± 47 µV	-2 %	6 µV
10 V	0.000 000 V	0.000 00 V	0.00 mV	± 0.05 mV	0 %	0.01 mV
	1.500 000 V	1.500 00 V	0.00 mV	± 0.10 mV	0 %	0.01 mV
	-1.500 000 V	-1.500 00 V	0.00 mV	± 0.10 mV	0 %	0.01 mV
	3.000 000 V	3.000 00 V	0.00 mV	± 0.16 mV	0 %	0.02 mV
	-3.000 000 V	-3.000 01 V	-0.01 mV	± 0.16 mV	-6 %	0.02 mV
	5.000 000 V	5.000 01 V	0.01 mV	± 0.23 mV	4 %	0.02 mV
	-5.000 000 V	-5.000 01 V	-0.01 mV	± 0.23 mV	-4 %	0.02 mV
	8.000 000 V	8.000 02 V	0.02 mV	± 0.33 mV	6 %	0.03 mV
	-8.000 000 V	-8.000 02 V	-0.02 mV	± 0.33 mV	-6 %	0.03 mV
	10.000 000 V	10.000 02 V	0.02 mV	± 0.40 mV	5 %	0.04 mV
	-10.000 000 V	-10.000 03 V	-0.03 mV	± 0.40 mV	-7 %	0.04 mV
	11.900 000 V	11.900 04 V	0.04 mV	± 0.47 mV	9 %	0.05 mV
	-11.900 000 V	-11.900 04 V	-0.04 mV	± 0.47 mV	-9 %	0.05 mV
100 V	0.000 00 V	0.000 0 V	0.0 mV	± 0.6 mV	0 %	0.1 mV
	100.000 00 V	99.999 7 V	-0.3 mV	± 5.1 mV	-6 %	0.6 mV
	-100.000 00 V	-100.000 1 V	-0.1 mV	± 5.1 mV	-2 %	0.6 mV
1000 V	0.000 0 V	0.000 V	0 mV	± 10 mV	0 %	1 mV
	1000.000 0 V	1000.004 V	4 mV	± 55 mV	7 %	7 mV
	-1000.000 0 V	-1000.005 V	-5 mV	± 55 mV	-9 %	7 mV

## Střídavá napětí

Rozsah	Hodnota nastavená	Hodnota zjištěná	Absolutní chyba	Specifikace výrobce	Čerpání specif.	Nejistota měření
100 mV	10.000 0 mV; 10 Hz	9.994 3 mV	-5.7 µV	± 46.0 µV	-12 %	6.4 µV
	10.000 0 mV; 45 Hz	9.993 3 mV	-6.7 µV	± 46.0 µV	-15 %	5.0 µV
	10.000 0 mV; 400 Hz	9.997 2 mV	-2.8 µV	± 46.0 µV	-6 %	4.8 µV
	10.000 0 mV; 1 kHz	9.997 4 mV	-2.6 µV	± 46.0 µV	-6 %	4.8 µV
	10.000 0 mV; 20 kHz	9.993 9 mV	-6.1 µV	± 46.0 µV	-13 %	4.8 µV
	10.000 0 mV; 50 kHz	9.998 0 mV	-2.0 µV	± 62.0 µV	-3 %	6.0 µV
	10.000 0 mV; 100 kHz	10.001 5 mV	1.5 µV	± 140.0 µV	1 %	10.0 µV
	10.000 0 mV; 300 kHz	9.742 8 mV	-257.2 µV	± 900.0 µV	-29 %	20.5 µV
	100.000 0 mV; 10 Hz	100.004 1 mV	4.1 µV	± 100.0 µV	4 %	36.1 µV
	100.000 0 mV; 45 Hz	99.994 6 mV	-5.4 µV	± 100.0 µV	-5 %	15.3 µV
	100.000 0 mV; 400 Hz	100.003 9 mV	3.9 µV	± 100.0 µV	4 %	15.0 µV
	100.000 0 mV; 1 kHz	100.004 0 mV	4.0 µV	± 100.0 µV	4 %	15.0 µV
	100.000 0 mV; 20 kHz	99.989 2 mV	-10.8 µV	± 100.0 µV	-11 %	15.0 µV
	100.000 0 mV; 50 kHz	99.995 4 mV	-4.6 µV	± 170.0 µV	-3 %	27.0 µV
	100.000 0 mV; 100 kHz	100.085 2 mV	85.2 µV	± 680.0 µV	13 %	63.0 µV
	100.000 0 mV; 300 kHz	98.629 1 mV	-1370.9 µV	± 4500.0 µV	-30 %	110.0 µV
1 V	1.000 000 V; 10 Hz	1.000 010 V	10 µV	± 900 µV	1 %	282 µV
	1.000 000 V; 45 Hz	0.999 917 V	-83 µV	± 900 µV	-9 %	60 µV
	1.000 000 V; 400 Hz	1.000 006 V	6 µV	± 900 µV	0 %	53 µV
	1.000 000 V; 1 kHz	1.000 001 V	1 µV	± 900 µV	0 %	53 µV
	1.000 000 V; 20 kHz	0.999 923 V	-77 µV	± 900 µV	-9 %	53 µV
	1.000 000 V; 50 kHz	1.000 012 V	12 µV	± 1700 µV	0 %	85 µV
	1.000 000 V; 100 kHz	1.001 506 V	1506 µV	± 6800 µV	22 %	140 µV
	1.000 000 V; 300 kHz	1.009 570 V	9570 µV	± 45000 µV	21 %	500 µV
10 V	10.000 00 V; 10 Hz	9.997 76 V	-2.24 mV	± 9.00 mV	-25 %	2.82 mV
	10.000 00 V; 45 Hz	9.996 88 V	-3.12 mV	± 9.00 mV	-35 %	0.58 mV
	10.000 00 V; 400 Hz	9.997 79 V	-2.21 mV	± 9.00 mV	-25 %	0.50 mV
	1.500 00 V; 1 kHz	1.499 48 V	-0.52 mV	± 3.90 mV	-13 %	0.13 mV
	3.000 00 V; 1 kHz	2.999 23 V	-0.77 mV	± 4.80 mV	-16 %	0.18 mV
	5.000 00 V; 1 kHz	4.998 86 V	-1.14 mV	± 6.00 mV	-19 %	0.27 mV
	7.000 00 V; 1 kHz	6.998 44 V	-1.56 mV	± 7.20 mV	-22 %	0.37 mV
	10.000 00 V; 1 kHz	9.997 77 V	-2.23 mV	± 9.00 mV	-25 %	0.50 mV
	11.900 00 V; 1 kHz	11.897 42 V	-2.58 mV	± 10.14 mV	-25 %	0.59 mV
	10.000 00 V; 20 kHz	9.998 01 V	-1.99 mV	± 9.00 mV	-22 %	0.50 mV
	10.000 00 V; 50 kHz	9.997 86 V	-2.14 mV	± 17.00 mV	-13 %	0.85 mV
	10.000 00 V; 100 kHz	9.999 98 V	-0.02 mV	± 68.00 mV	-0 %	1.20 mV
	10.000 00 V; 300 kHz	10.042 95 V	42.95 mV	± 450.00 mV	10 %	3.35 mV
100 V	100.000 0 V; 10 Hz	99.974 8 V	-25.2 mV	± 90.0 mV	-28 %	28.1 mV
	100.000 0 V; 45 Hz	99.965 2 V	-34.8 mV	± 90.0 mV	-39 %	6.1 mV
	100.000 0 V; 400 Hz	99.976 0 V	-24.0 mV	± 90.0 mV	-27 %	5.8 mV
	100.000 0 V; 1 kHz	99.976 7 V	-23.3 mV	± 90.0 mV	-26 %	5.8 mV
	100.000 0 V; 20 kHz	99.982 0 V	-18.0 mV	± 90.0 mV	-20 %	5.8 mV
	100.000 0 V; 50 kHz	99.978 8 V	-21.2 mV	± 170.0 mV	-12 %	9.0 mV
	100.000 0 V; 100 kHz	99.994 8 V	-5.2 mV	± 680.0 mV	-0 %	17.5 mV
750 V	750.000 V; 45 Hz	749.802 V	-198 mV	± 675 mV	-29 %	76 mV
	750.000 V; 400 Hz	749.879 V	-121 mV	± 675 mV	-18 %	56 mV
	750.000 V; 1 kHz	749.888 V	-112 mV	± 675 mV	-17 %	56 mV

**Střídavá napětí**

Rozsah	Hodnota nastavená	Hodnota zjištěná	Absolutní chyba	Specifikace výrobce	Čerpání specif.	Nejistota měření
750 V	750.000 V; 20 kHz	749.884 V	-116 mV	± 675 mV	-17 %	130 mV
	750.000 V; 50 kHz	749.739 V	-261 mV	± 1275 mV	-20 %	461 mV
	750.000 V; 100 kHz	748.107 V	-1893 mV	± 5100 mV	-37 %	1775 mV

*Stejnosměrné proudy*

Rozsah	Hodnota nastavená	Hodnota zjištěná	Absolutní chyba	Specifikace výrobce	Čerpání specif.	Nejistota měření
100 µA	0.000 0 µA	0.002 5 µA	2.5 nA	± 25.0 nA	10 %	7.7 nA
	100.000 0 µA	100.004 8 µA	4.8 nA	± 75.0 nA	6 %	11.0 nA
	-100.000 0 µA	-100.001 0 µA	-1.0 nA	± 75.0 nA	-1 %	11.0 nA
1 mA	0.000 000 mA	0.000 004 mA	4 nA	± 50 nA	8 %	8 nA
	1.000 000 mA	1.000 043 mA	43 nA	± 550 nA	8 %	42 nA
	-1.000 000 mA	-1.000 050 mA	-50 nA	± 550 nA	-9 %	42 nA
10 mA	0.000 00 mA	-0.000 06 mA	-0.06 µA	± 2.00 µA	-3 %	0.43 µA
	10.000 00 mA	9.999 64 mA	-0.36 µA	± 7.00 µA	-5 %	0.70 µA
	-10.000 00 mA	-10.000 22 mA	-0.22 µA	± 7.00 µA	-3 %	0.55 µA
100 mA	0.000 0 mA	0.000 3 mA	0.3 µA	± 5.0 µA	6 %	0.9 µA
	15.000 0 mA	15.000 4 mA	0.4 µA	± 12.5 µA	3 %	1.6 µA
	-15.000 0 mA	-14.999 7 mA	0.3 µA	± 12.5 µA	2 %	1.5 µA
	30.000 0 mA	30.000 3 mA	0.3 µA	± 20.0 µA	1 %	2.2 µA
	-30.000 0 mA	-30.000 1 mA	-0.1 µA	± 20.0 µA	-0 %	2.2 µA
	50.000 0 mA	50.000 5 mA	0.5 µA	± 30.0 µA	2 %	3.0 µA
	-50.000 0 mA	-50.000 2 mA	-0.2 µA	± 30.0 µA	-0 %	3.0 µA
	80.000 0 mA	80.000 1 mA	0.1 µA	± 45.0 µA	0 %	4.3 µA
	-80.000 0 mA	-80.000 5 mA	-0.5 µA	± 45.0 µA	-1 %	4.3 µA
	100.000 0 mA	99.999 7 mA	-0.3 µA	± 55.0 µA	-0 %	5.2 µA
	-100.000 0 mA	-100.000 4 mA	-0.4 µA	± 55.0 µA	-0 %	5.2 µA
	119.000 0 mA	118.998 9 mA	-1.1 µA	± 65.0 µA	-2 %	7.4 µA
	-119.000 0 mA	-119.000 1 mA	-0.1 µA	± 65.0 µA	-0 %	7.4 µA
	400 mA	0.001 mA	1 µA	± 20 µA	5 %	12 µA
	400.000 mA	399.994 mA	-6 µA	± 220 µA	-3 %	44 µA
	-400.000 mA	-399.985 mA	15 µA	± 220 µA	7 %	44 µA
1 A	0.000 000 A	0.000 020 A	20 µA	± 200 µA	10 %	60 µA
	1.000 000 A	1.000 067 A	67 µA	± 700 µA	10 %	113 µA
	-1.000 000 A	-0.999 995 A	5 µA	± 700 µA	0 %	105 µA
3 A	0.000 00 A	0.000 00 A	0.00 mA	± 0.60 mA	0 %	0.48 mA
	3.000 00 A	3.000 23 A	0.23 mA	± 3.60 mA	6 %	1.56 mA
	-3.000 00 A	-3.000 21 A	-0.21 mA	± 3.60 mA	-6 %	1.56 mA
10 A	0.000 00 A	0.000 02 A	0.02 mA	± 0.80 mA	3 %	0.48 mA
	10.000 00 A	10.001 05 A	1.05 mA	± 15.80 mA	7 %	4.08 mA
	-10.000 00 A	-10.001 24 A	-1.24 mA	± 15.80 mA	-8 %	4.08 mA

*Střídavé proudy*

Rozsah	Hodnota nastavená	Hodnota zjištěná	Absolutní chyba	Specifikace výrobce	Čerpání specif.	Nejistota měření
10 mA	10.000 0 mA; 10 Hz	10.000 95 mA	0.95 µA	± 21.00 µA	5 %	2.91 µA
	10.000 0 mA; 50 Hz	10.000 17 mA	0.17 µA	± 21.00 µA	0 %	1.60 µA
	10.000 0 mA; 400 Hz	10.000 95 mA	0.95 µA	± 21.00 µA	5 %	1.60 µA
	10.000 0 mA; 1 kHz	10.000 66 mA	0.66 µA	± 21.00 µA	3 %	1.60 µA
	10.000 0 mA; 5 kHz	9.995 09 mA	-4.91 µA	± 21.00 µA	-23 %	2.60 µA
	10.000 0 mA; 10 kHz	9.987 64 mA	-12.36 µA	± 105.00 µA	-12 %	16.00 µA
100 mA	100.000 mA; 10 Hz	100.007 4 mA	7.4 µA	± 140.0 µA	5 %	29.0 µA
	100.000 mA; 50 Hz	100.000 1 mA	0.1 µA	± 140.0 µA	0 %	15.0 µA
	15.000 mA; 400 Hz	14.999 3 mA	-0.7 µA	± 55.0 µA	-1 %	2.0 µA
	30.000 mA; 400 Hz	30.001 5 mA	1.5 µA	± 70.0 µA	2 %	6.0 µA
	70.000 mA; 400 Hz	70.005 4 mA	5.4 µA	± 110.0 µA	5 %	11.0 µA
	100.000 mA; 400 Hz	100.008 4 mA	8.4 µA	± 140.0 µA	6 %	15.0 µA
	119.000 mA; 400 Hz	119.010 7 mA	10.7 µA	± 159.0 µA	7 %	17.0 µA
	100.000 mA; 1 kHz	100.005 3 mA	5.3 µA	± 140.0 µA	4 %	15.0 µA
	100.000 mA; 5 kHz	99.960 4 mA	-39.6 µA	± 140.0 µA	-28 %	24.0 µA
	100.000 mA; 10 kHz	99.912 7 mA	-87.3 µA	± 450.0 µA	-19 %	120.0 µA
400 mA	400.00 mA; 10 Hz	399.686 mA	-314 µA	± 800 µA	-39 %	140 µA
	400.00 mA; 50 Hz	399.837 mA	-163 µA	± 800 µA	-20 %	141 µA
	400.00 mA; 400 Hz	399.854 mA	-146 µA	± 800 µA	-18 %	140 µA
	400.00 mA; 1 kHz	399.868 mA	-132 µA	± 800 µA	-16 %	140 µA
	400.00 mA; 5 kHz	400.296 mA	296 µA	± 3600 µA	8 %	260 µA
	400.00 mA; 10 kHz	402.305 mA	2305 µA	± 3600 µA	64 %	2960 µA
1 A	1.000 00 A; 45 Hz	0.999 995 A	-5 µA	± 1400 µA	-0 %	290 µA
	1.000 00 A; 400 Hz	1.000 075 A	75 µA	± 1400 µA	5 %	290 µA
	1.000 00 A; 1 kHz	1.000 059 A	59 µA	± 1400 µA	4 %	290 µA
	1.000 00 A; 5 kHz	0.999 507 A	-493 µA	± 1400 µA	-35 %	530 µA
	1.000 00 A; 10 kHz	0.999 400 A	-600 µA	± 4200 µA	-14 %	7160 µA
3 A	3.000 0 A; 45 Hz	2.999 68 A	-0.32 mA	± 6.30 mA	-5 %	1.60 mA
	3.000 0 A; 400 Hz	2.999 93 A	-0.07 mA	± 6.30 mA	-1 %	1.60 mA
	3.000 0 A; 1 kHz	3.000 04 A	0.04 mA	± 6.30 mA	0 %	0.80 mA
	3.000 0 A; 5 kHz	2.999 09 A	-0.91 mA	± 6.30 mA	-14 %	3.20 mA
	3.000 0 A; 10 kHz	2.998 81 A	-1.19 mA	± 31.50 mA	-4 %	11.60 mA
10 A	10.000 0 A; 45 Hz	9.999 50 A	-0.50 mA	± 21.00 mA	-2 %	4.80 mA
	10.000 0 A; 400 Hz	10.000 74 A	0.74 mA	± 21.00 mA	4 %	4.80 mA
	10.000 0 A; 1 kHz	10.001 11 A	1.11 mA	± 21.00 mA	5 %	2.60 mA
	10.000 0 A; 5 kHz	9.998 13 A	-1.87 mA	± 21.00 mA	-9 %	9.91 mA
	10.000 0 A; 10 kHz	9.997 29 A	-2.71 mA	± 105.00 mA	-3 %	36.80 mA

*Odpory*

Rozsah	Hodnota nastavená	Hodnota zjištěná	Absolutní chyba	Specifikace výrobce	Čerpání specif.	Nejistota měření
100 Ω 4w	0.000 00 Ω	0.000 0 Ω	0.0 mΩ	± 4.0 mΩ	0 %	0.5 mΩ
	9.999 62 Ω	9.999 7 Ω	0.1 mΩ	± 5.0 mΩ	2 %	0.6 mΩ
	18.998 94 Ω	18.998 5 Ω	-0.4 mΩ	± 5.9 mΩ	-7 %	0.7 mΩ
	99.998 47 Ω	99.996 1 Ω	-2.4 mΩ	± 14.0 mΩ	-17 %	1.1 mΩ
1 kΩ 4w	0.000 000 0 kΩ	0.000 000 kΩ	0 mΩ	± 10 mΩ	0 %	1 mΩ
	0.189 994 0 kΩ	0.189 992 kΩ	-2 mΩ	± 29 mΩ	-7 %	3 mΩ
	1.000 009 5 kΩ	0.999 996 kΩ	-14 mΩ	± 110 mΩ	-13 %	9 mΩ
10 kΩ 4w	0.000 000 kΩ	-0.000 01 kΩ	-0.01 Ω	± 0.10 Ω	-10 %	0.01 Ω
	1.900 021 kΩ	1.899 99 kΩ	-0.03 Ω	± 0.29 Ω	-10 %	0.02 Ω
	9.999 844 kΩ	9.999 68 kΩ	-0.16 Ω	± 1.10 Ω	-15 %	0.09 Ω
100 kΩ 4w	0.000 00 kΩ	0.000 0 kΩ	0.0 Ω	± 1.0 Ω	0 %	0.1 Ω
	19.000 43 kΩ	19.000 2 kΩ	-0.2 Ω	± 2.9 Ω	-7 %	0.2 Ω
	99.998 33 kΩ	99.996 8 kΩ	-1.5 Ω	± 11.0 Ω	-14 %	1.1 Ω
1 MΩ 4w	0.000 000 0 MΩ	0.000 000 MΩ	0 Ω	± 10 Ω	0 %	1 Ω
	0.189 992 5 MΩ	0.189 991 MΩ	-2 Ω	± 29 Ω	-7 %	2 Ω
	0.999 975 9 MΩ	0.999 963 MΩ	-13 Ω	± 110 Ω	-12 %	20 Ω
10 MΩ 4w	0.000 000 MΩ	0.000 00 MΩ	0.00 kΩ	± 0.10 kΩ	0 %	0.01 kΩ
	1.899 915 MΩ	1.899 98 MΩ	0.06 kΩ	± 0.86 kΩ	7 %	0.04 kΩ
	10.000 344 MΩ	10.000 50 MΩ	0.16 kΩ	± 4.10 kΩ	4 %	0.40 kΩ
100 Ω 2w	0.000 00 Ω	0.000 2 Ω	0.2 mΩ	± 4.0 mΩ	5 %	2.1 mΩ
	9.999 62 Ω	10.000 8 Ω	1.2 mΩ	± 5.0 mΩ	24 %	2.3 mΩ
	18.998 94 Ω	19.000 1 Ω	1.2 mΩ	± 5.9 mΩ	20 %	2.5 mΩ
	99.998 47 Ω	99.997 2 Ω	-1.3 mΩ	± 14.0 mΩ	-9 %	3.0 mΩ
1 kΩ 2w	0.000 000 0 kΩ	0.000 001 kΩ	1 mΩ	± 10 mΩ	10 %	2 mΩ
	0.189 994 0 kΩ	0.189 994 kΩ	0 mΩ	± 29 mΩ	0 %	4 mΩ
	1.000 009 5 kΩ	1.000 000 kΩ	-10 mΩ	± 110 mΩ	-9 %	19 mΩ
10 kΩ 2w	0.000 000 kΩ	0.000 00 kΩ	0.00 Ω	± 0.10 Ω	0 %	0.01 Ω
	1.900 021 kΩ	1.900 00 kΩ	-0.02 Ω	± 0.29 Ω	-7 %	0.03 Ω
	9.999 844 kΩ	9.999 70 kΩ	-0.14 Ω	± 1.10 Ω	-13 %	0.14 Ω
100 kΩ 2w	0.000 00 kΩ	0.000 0 kΩ	0.0 Ω	± 1.0 Ω	0 %	0.1 Ω
	19.000 43 kΩ	19.000 1 kΩ	-0.3 Ω	± 2.9 Ω	-10 %	0.3 Ω
	99.998 33 kΩ	99.997 2 kΩ	-1.1 Ω	± 11.0 Ω	-10 %	1.1 Ω
1 MΩ 2w	0.000 000 0 MΩ	0.000 001 MΩ	1 Ω	± 10 Ω	10 %	2 Ω
	0.189 992 5 MΩ	0.189 991 MΩ	-2 Ω	± 29 Ω	-7 %	2 Ω
	0.999 975 9 MΩ	0.999 962 MΩ	-14 Ω	± 110 Ω	-13 %	20 Ω
10 MΩ 2w	0.000 000 MΩ	0.000 00 MΩ	0.00 kΩ	± 0.10 kΩ	0 %	0.01 kΩ
	1.899 915 MΩ	1.899 99 MΩ	0.07 kΩ	± 0.86 kΩ	8 %	0.05 kΩ
	10.000 344 MΩ	10.000 53 MΩ	0.19 kΩ	± 4.10 kΩ	5 %	0.40 kΩ
100 MΩ 2w	0.000 00 MΩ	0.000 0 MΩ	0.0 kΩ	± 10.0 kΩ	0 %	0.1 kΩ
	18.999 57 MΩ	19.001 5 MΩ	1.9 kΩ	± 153.0 kΩ	1 %	0.9 kΩ
	100.000 27 MΩ	100.008 8 MΩ	8.5 kΩ	± 810.0 kΩ	1 %	10.1 kΩ

**Kmitočet**

Hodnota nastavená	Hodnota zjištěná	Absolutní chyba	Specifikace výrobce	Čerpání specif.	Nejistota měření
10.000 000 Hz	10.000 04 Hz	0.000 04 Hz	±0.003 00 Hz	1%	0.000 43 Hz
40.000 000 Hz	40.000 1 Hz	0.000 1 Hz	±0.004 0 Hz	3%	0.001 5 Hz
1.000 000 0 kHz	1.000 009 kHz	0.009 Hz	±0.100 Hz	9%	0.007 Hz
300.000 00 kHz	300.003 kHz	3 Hz	±30 Hz	10%	2 Hz

Měřeno při napětí U = 1 Vrms, sinusový průběh.

Konec kalibračního listu